МИНИСТЕРСТВО ОБРАЗОВАНИЯ И НАУКИ РОССИЙСКОЙ ФЕДЕРАЦИИ

федеральное государственное бюджетное образовательное учреждение высшего образования

«Тольяттинский государственный университет»

Институт машиностроения

(наименование института полностью)

Кафедра «Оборудование и технологии машиностроительного производства» (наименование кафедры)

15.03.05 «Конструкторско-технологическое обеспечение

машиностроительных производств»

(код и наименование направления подготовки)

Технология машиностроения

(профиль)

БАКАЛАВРСКАЯ РАБОТА

на тему <u>Технологический процесс изготовления блок-шестерни коробки</u> скоростей токарного станка Proma SPI

Студент(ка)	Е.В. Семичев	
Руководитель	(И.О. Фамилия) Д.Г. Левашкин	(личная подпись)
Консультанты	(И.О. Фамилия) Краснопевцева И.В.	(личная подпись)
	(И.О. Фамилия) Степаненко А.В.	(личная подпись)
	(И.О. Фамилия) Виткалов В.Г.	(личная подпись)
	(И.О. Фамилия)	(личная подпись)
Допустить к защите		
Заведующий кафедрой		
к.т.н, доцент	(личная подпись)	Н.Ю. Логинов
	// W	2017 г

Тольятти 2017

КИЦАТОННА

Цель работы – разработка технологического процесса изготовления блокшестерни коробки скоростей токарного станка Proma SPI.

Разработан техпроцесс обработки заданной детали, блок-шестерни коробки скоростей токарного станка Proma SPI. Проанализированы исходные данные, выбрана стратегия разработки техпроцесса, разработаны технологический маршрут и схемы базирования, определены методы обработки каждой поверхности, рассчитаны припуски на обработку, спроектирована заготовка. Выбраны средства технологического оснащения. Определены режимы резания и нормы времени. Спроектирована специальная оснастка – приспособление. Определены меры по экологичности и безопасности работы. Определена экономическая эффективность работы.

Были проведены следующие расчеты:

- расчет исходной заготовки;
- расчет технологичесности детали;
- расчет режимов резания;
- расчет межоперационных размеров и припусков;
- расчет элементов приспособления.

Бакалаврская работа содержит:

- графическая часть 6 листов A1;
- расчётно-пояснительная записка: 60 страниц, 14 таблиц, 10 рисунков.

СОДЕРЖАНИЕ

ВВЕДЕНИЕ	4
1 Описание исходных данных	5
2 Технологическая часть работы	8
2.1 Выбор заготовки	8
2.2 Выбор и обоснование технологических баз	10
2.3 Расчет припусков на механическую обработку поверхности	11
2.4 Разработка маршрута технологического процесса	18
2.5 Расчет режимов резания	23
2.6 Техническое нормирование операций	42
3 Проектирование приспособления	44
4 Безопасность и экологичность работы	50
5 Экономическая эффективность работы	54
ЗАКЛЮЧЕНИЕ	57
СПИСОК ИСПОЛЬЗОВАННОЙ ЛИТЕРАТУРЫ	58
ПРИЛОЖЕНИЕ А	61
припожение в	63

ВВЕДЕНИЕ

Очень большое значение для повышения общего технического уровня предприятий и развития технологии машиностроения играет систематизация документации, внедрение в производство новых компьютерных технологий, применение механизации и автоматизации, создание цехов и заводовавтоматов, в которых больше не используется ручной труд. Залогом успеха так же является максимальное приближение размеров заготовки к размерам готового изделия, что в свою очередь приводит к экономии материалов и энергозатрат, снижению трудоемкости и высвобождению ресурсов производства для решения других немаловажных производственных задач.

Для обработки резанием, которая до сих пор является ведущей среди процессов формообразования, важным становится увеличение скоростей обработки, применение новых видов инструментов и приспособлений, нового прогрессивного оборудования, а также повышение износостойкости, твердости инструмента и использование новых прогрессивных инструментальных материалов.

Стоит также подробнее остановиться на взаимосвязи экономики и технологии машиностроения. При интенсификации работы оборудования, современных методов обработки, применении использовании быстродействующих приспособлений, многорезцовой обработки, развития поточной обработки, применении механизации автоматизации незамедлительно возникает ощутимый экономический эффект, благоприятно сказывается на рентабельности предприятия. При повышении рентабельности предприятий y них появляется возможность ДЛЯ инвестирования средств в собственное производство.

1 Описание исходных данных

Деталь блок-шестерня представляет собой тело вращения сложной формы с выполненными по наружной поверхности зубчатыми венцами эвольвентного профиля.

В узле деталь устанавливается по внутреннему шпоночному отверстию и торцу.

Анализ чертежа детали позволяет сделать вывод, что деталь не технологична, размеры поставлены не от баз, как например отверстие диаметром 28H7 растачивается справа, а завязка канавки под это отверстие слева.

Чертеж выполнен не в соответствии с требованиями ЕСКД и ГОСТ на зубчатые колеса, а произвольно.

Чистота обработки обрабатываемых поверхностей не отвечает классу точности обработки, она занижена. Поэтому чертеж выполняем согласно ЕСКД.

Профиль зуба зубчатого венца z=36 получается червячной фрезой, профиль зуба z=25 получается зуборезным чашечным долбяком. Качество поверхности и чистота обработки достигается тонким точением и шлифованием, после цементации и закалки.

Отверстие M8 выполняется на вертикально-сверлильном станке. Шпоночное отверстие выполняется долблением.

Выполним качественный анализ конструктивных элементов:

- фаски 6;
- отверстия − 1;
- цилиндрические поверхности 6;
- специальные поверхности 2;
- шпоночное отверстие и зубчатые венцы 3;
- торцы 4;

Всего – 22.

Определим коэффициент унификации конструктивных элементов по формуле (1.1):

$$k_{y_9} = \frac{Q_{y_9}}{Q_9} \tag{1.1}$$

где Q_{y_9} = 19 шт. - количество унифицированных элементов; Q_9 = 22 шт. - общее число элементов.

$$k_{y9} = \frac{19}{22} = 0.86$$

Деталь технологична.

Определяем коэффициент точности по формуле (1.2):

$$k_{\text{точн}} = 1 - \frac{1}{IT_{\text{cp}}} \tag{1.2}$$

где IT_{cp} - средний квалитет, который рассчитаем по формуле (1.3):

$$IT_{cp} = \sum_{i=1}^{n} n_i \tag{1.3}$$

7 квалитет – 3; 8 квалитет – 3; 9 квалитет – 1; 11 квалитет – 1; 14 квалитет – 8; Всего – 16.

$$IT_{cp} = \frac{(\times 3) (\times 3) (\times 1) (1 \times 1) (4 \times 8)}{16} = \frac{231}{16} = 14,43$$

$$k_{TOUH} = 1 - \frac{1}{14,43} = 0,94$$

$$k_{TOUH} > 0,8$$

По этому показателю деталь технологична.

Коэффициент шероховатости поверхности определяем по формуле (1.4):

$$k_{III} = \frac{1}{R_{a.cp}} \tag{1.4}$$

где $R_{a.cp}$ - средняя шероховатость поверхности, которую рассчитаем по формуле (1.5):

$$R_{a.cp} = \sum_{i=1}^{n} n_i$$
 (1.5)

Всего – 23.

Подставив все необходимые значения в формулы (2.4), (2.5) получаем:

$$R_{a.cp} = \frac{\sqrt{.8 \times 5} + \sqrt{.6 \times 8} + \sqrt{.2 \times 10}}{23} = \frac{48.8}{23}$$

$$R_{a.cp} = \frac{48.8}{23} = 2.12$$

$$k_{III} = \frac{1}{2.12} = 0.47$$

$$k_{III} = \frac{1}{2.32} = 0.32$$

Деталь нетехнологична.

Коэффициент применяемости стандартизированных обрабатываемых поверхностей определяем по формуле (1.6):

$$k_{\text{III.CT}} = \frac{\mathcal{I}_{\text{OC}}}{\mathcal{I}_{\text{MO}}} \tag{1.6}$$

где $Д_{oc}$ - количество поверхностей с применением стандартного инструмента, шт; $Д_{m.o}$ - общее количество поверхностей, подвергаемых механической обработке, шт.

$$k = \frac{20}{22} = 0,9$$
 (специальный канавочный резец для черновой обработки)

Коэффициент обработки поверхности k=1. Таким образом, рассчитанные коэффициенты позволяют сделать вывод, что деталь достаточно технологична.

2 Технологическая часть работы

2.1 Выбор заготовки

Деталь – блок-шестерня коробки скоростей токарного станка Proma SPI.

Материал: Сталь 20Х ГОСТ 4543-84, цементировать h 0,8...1 мм.

Химический состав стали: C = 0,17-0,23; HR $_{\rm c9}$ = 48...50; Cr = 0,7 - 1; ${\rm M_n}$ = 0,5 - 0,8; HB=179 .

Масса детали -0.9 кг.

Заготовка штампованная.

Штамповочное оборудование – горячештамповочный автомат.

Массу поковки определяем по формуле (2.1):

$$G_{\pi} = G_{\pi} \times k = 0.9 \times 1.8 = 1.62$$
 (2.1)

где k = 1.8

Определение исходного индекса:

Класс точности – Т2;

Группа стали – М1;

Степень сложности – С1;

Конфигурация поверхности разъема штампа плоский – П;

Исходный индекс – 5.

На рисунке 2.1 представлен эскиз заготовки.

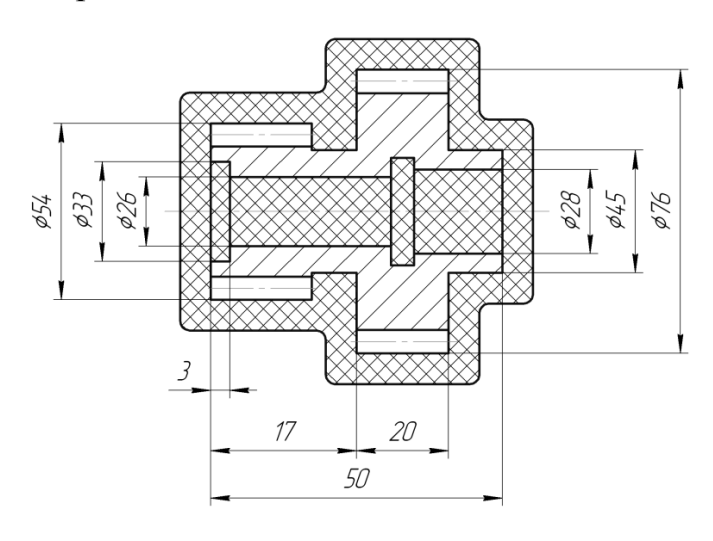


Рисунок 2.1 – Заготовка

Основные припуски на сторону:

Ø76 - точение черновое, чистовое 1,1 мм;

Ø45 - точение черновое, чистовое 1,1 мм;

Ø54 - точение черновое, чистовое 1,1 мм.

По торцам:

50 – точение черновое, чистовое, шлифование 1,1 мм;

17 – точение черновое, чистовое 1,1 мм;

20 – точение черновое, чистовое 1,1 мм.

Размеры поковки и их допускаемые отклонения.

Радиусы закруглений внешних углов R=2,5 мм

Допустимые отклонения размеров:

$\emptyset 80^{+0.6}_{-0.3}$	$54^{+0,6}_{-0,3}$
$\emptyset 50^{+0,6}_{-0,3}$	$22^{+0,5}_{-0,3}$
Ø58 ^{+0,6}	$24^{+0.5}_{0.3}$

Допустимая величина смещения по поверхности разъема штампа 0,4 мм.

Допустимая величина заусенцев, по контуру пуансона при штамповке в закрытых штампах -0.5 мм.

Наибольшее допустимое отклонение от концентричности пробитого отверстия для классов точности -0.5 мм.

Допустимое отклонение по изогнутости для классов точности -0.4 мм.

Допуск радиального биения цилиндрических поверхностей не должен быть больше – 0,8 мм.

Допустимые отклонения штампованных уклонов $\pm 0,25$ их номинальной величины.

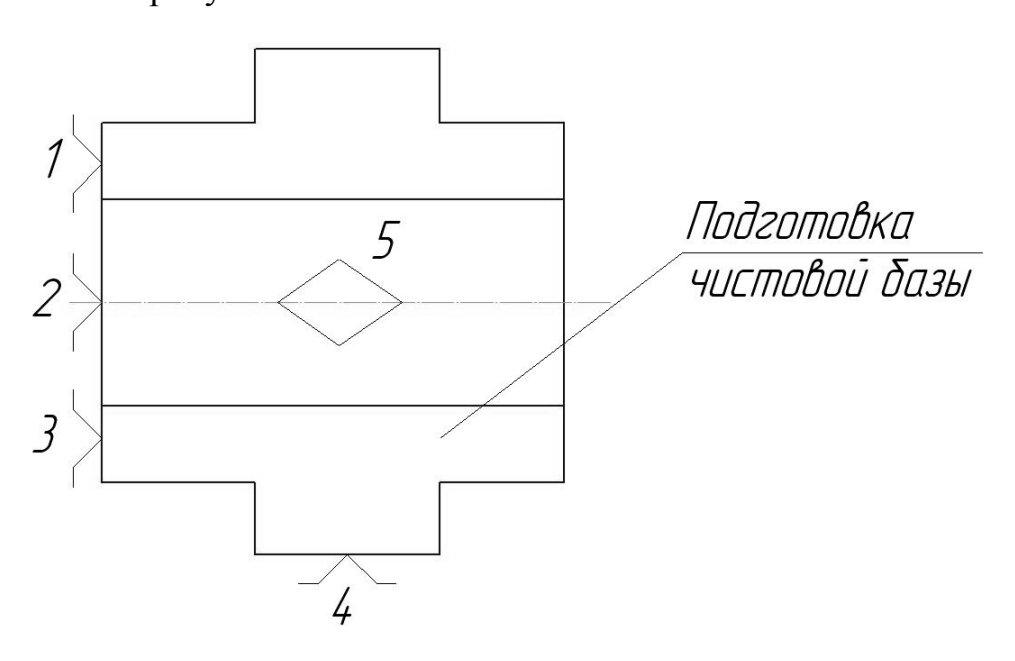
Штампованные уклоны по наружной поверхности для деталей, изготовленных на горячештамповочных автоматах - 1° .

2.2 Выбор и обоснование технологических баз

При обработке детали придерживаются следующей последовательности:

- сначала на первую операцию назначают комплект черновых технологических баз;
- черновые базы используются только один раз и не допускают переустановки заготовки;
- черновые базы выбираются таким образом, чтобы обеспечить впоследствии геометрическую точность наиболее ответственных поверхностей.

Анализ размеров детали позволяет сделать вывод, что в качестве черновой технологической базы можно выбрать внешнюю цилиндрическую поверхность и внешний торец. Базирование заготовки для подготовки чистовой базы показано на рисунке 2.2.



1,2,3 – установочная база; 4,5 – двойная опорная Рисунок 2.2 – Базирование заготовки

Учитывая массовость производства для токарной обработки наиболее

целесообразно применять горизонтальный многошпиндельный полуавтомат.

В этом случае, используя универсальный комплект технологических баз (внешнюю цилиндрическую и торец), мы выполняем подготовку чистовых баз – внутренней поверхности, противоположного торца, внешней поверхности венца.

Этим самым мы обеспечим равномерность снимаемого припуска и минимальные погрешности пространственного расположения основных поверхностей.

Принятый комплект технологических баз лишает заготовку 5 степеней свободы, установочная база -3 степени, двойная опорная -2 степени.

Последняя ступень - вращение вокруг оси существенного значения не имеет.

В дальнейшем деталь переустанавливается, но уже обработанными поверхностями и осуществляется черновая обработка детали с другой стороны.

Чистовую токарную обработку осуществляем по чистовым базам, которые были получены на черновой обработке.

2.3 Расчет припусков на механическую обработку поверхности

Деталь: блок-шестерня коробки скоростей токарного станка Proma SPI.

Материал: Сталь 20Х ГОСТ 4543-84.

Масса поковки - 1,62 кг.

Обрабатываемая деталь показана на рисунке 2.3.

Наружная поверхность Ø76 h7 $\P_{0.03}$ l = 20_{−0.28}

Наружная поверхность Ø54 h7 $\P_{0.025}$, $l = 17_{-0.28}$

Черновую обработку осуществляем на токарном шестишпиндельном горизонтальном полуавтомате модели КА-104 с двойной индексацией, чистовую на восьмишпиндельном полуавтомате с двойной индексацией модели 1Б240П-8.

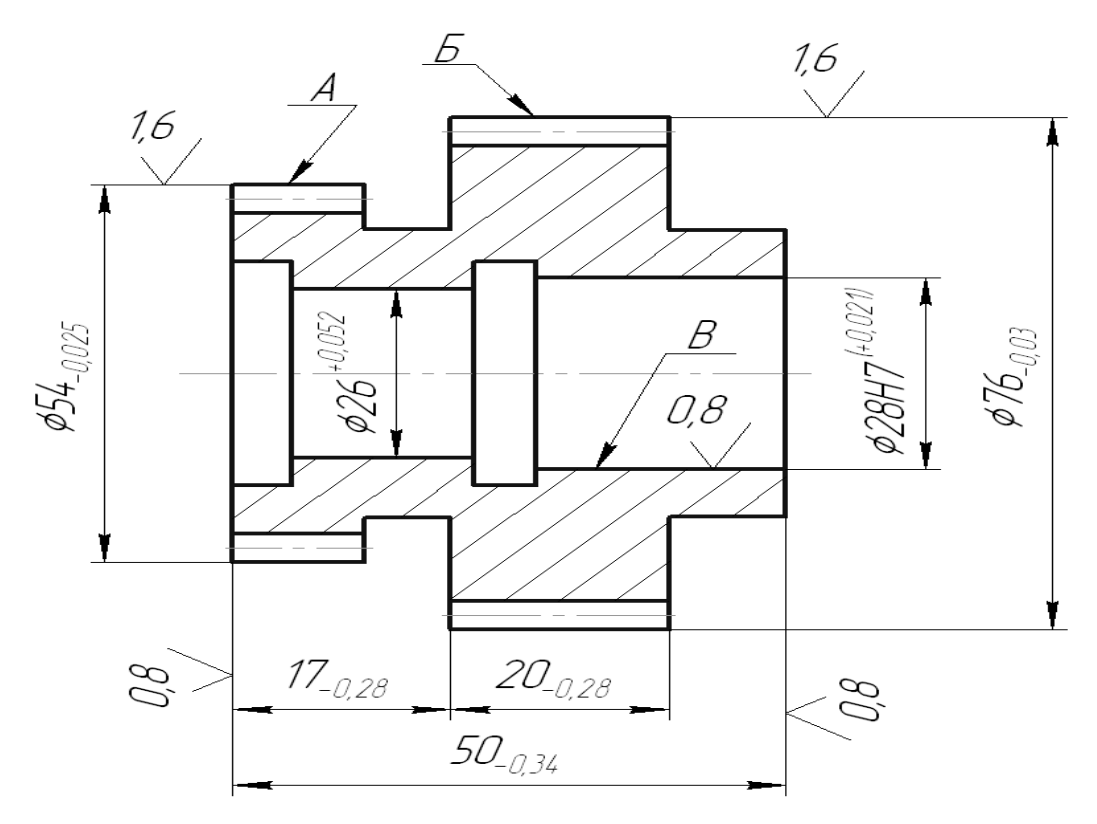


Рисунок 2.3 – Обрабатываемая деталь

Таблица 2.1 – Последовательность обработки

Наименование операции	Квалитет	Шероховатость
Черновое точение	IT14	12,5
Получистовое точение	IT9	3,2
Чистовое точение	IT8	1,6

База - поверхность A для обработки Ø76 h7 и поверхность Б для обработки Ø54 h7.

Допуски TD для штампованных заготовок определяются по формулам (2.2), (2.3) изложенным в методических указаниях для расчета припусков:

$$TD = \Delta H_1 + \Delta H_2 + k_y \tag{2.2}$$

где ΔH_1 - погрешность недоштамповки, мкм; ΔH_2 - допустимый износ штампа, мкм.

$$\Delta H_1 = 800$$
 мкм

 $\Delta H_2 = 400 \text{ MKM}$

 k_{y} - колебания усадки заготовки по температурному интервалу штамповки.

$$k_{y} = 2H \tag{2.3}$$

где H – измерения $\rho - \rho$

для Ø76 H=2

 \emptyset 54 $H_1 = 22$

Подставив все необходимые значения в формулу (2.2), получаем:

$$\emptyset76 - TD = 800 + 400 + 2 \times 24 = 1248$$

$$\emptyset$$
54 - $TD = 800 + 400 + 2 \times 22 = 1244$

Верхнее предельное отклонение определяем по формуле (2.4):

$$ESD = \Delta H_1 + 0.5k_y \tag{2.4}$$

 $Ø76 \quad ESD_1 = 800 + 24 = 824;$

$$\emptyset 54$$
 $ESD_2 = 800 + 22 = 822$

Нижнее предельное отклонение определяем по формуле (2.4):

$$EID = \Delta H_2 + 0.5k_y \tag{2.5}$$

$$\emptyset$$
76 $EID_1 = 400 + 24 = 424$

$$Ø54 \quad EID_2 = 400 + 22 = 422$$

Учитывая рекомендации окончательно принимаем:

$$TD = 1600 \text{ мкм}$$

$$ESD = 1000 \text{ MKM}$$

$$EID = 600 \text{ MKM}$$

Качество поверхностного слоя заготовки выбираем по:

$$R_{r_{i-1}} + T_{i-1} = 160 + 200 = 360 \text{ MKM}$$

Суммарное значение пространственной погрешности рассчитываем по формуле (2.6):

$$\rho_{i-1} = \sqrt{\rho_{ci}^2 + \rho_{\dot{y}\dot{e}\dot{n}}^2}$$
 (2.6)

Подставив все необходимые значения в формулу (2.6), получаем:

$$\rho_{i-1} = \sqrt{450^2 + 500^2} = 672.6 = 680 \text{ MKM}$$

Погрешность установки E_i , в данном случае определяется погрешностью индексации поворотного стола ($E_{uv} = 50\,\mathrm{Mkm}$).

Для достижения требуемой точности размеров и качества обрабатываемой поверхности предусматривается обработка твердосплавными резцами.

Значения величин элементов припуска для каждого перехода выбираются по [17].

$$ho_{i-1}=0.06 imes
ho_{arrho^{\dotlpha_{arlpha}}}=0.06 imes680=40\,$$
 MKM
$$E_{i}=E_{uv}$$

Тогда припуск для чернового точения определяем по формуле (2.7):

$$z_{i_{\min}} = 2 \times \left(\mathbf{k}_{z_{i-1}} + T + \sqrt{\rho_{i-1}^2 + E_i^2} \right), \text{ MKM}$$
 (2.7)

где $R_{z_{i-1}} = 160$; $T_{i-1} = 200$

$$z_{i_{\min}} = 2 \times \left(60 + 200 + \sqrt{680^2 + 50^2}\right)$$
 $z_{i_{\min}} = 2100 \text{ MKM}$

Для получистового точения:

$$z_{i_{\min}} = 2 \times \left(25 + 120 + \sqrt{40^2 + 50^2}\right)$$
 $z_{i_{\min}} = 620 \text{ MKM}$

Для чистового точения:

$$z_{i_{\min}} = 2 \times \left(0 + 40 + \sqrt{2,4^2 + 50^2}\right)$$
 $\rho_{i-1} = 0,06 \times 40 = 2,4$
 $z_{i_{\min}} = 260 \text{ MKM}$

Результаты расчетов сводим в таблицу 2.2.

Расчет припусков на обработку внутренней поверхности В $\varnothing 28H7(+0,021)$:

Поверхность В обрабатывается на станке 1Б240П-8 с базированием по обработанной поверхности А. Заготовка закрепляется в самоцентрующийся трёхкулачковый патрон с гидроприводом.

Допуск размера $D_1 = 28$ заготовки может быть определен по (формуле 2.8):

$$TD_1 = 0.5 \times \left(D + TD\right)$$
 (2.8)

где TD = 240 мкм - допуск по наружному диаметру Б; $TD^{/} = 52$ мкм - допуск отверстия после предварительной обработки $\emptyset 26^{+0.052}$ (зенкерования).

$$TD_1 = 0.5 \times 40 + 52 = 140 \text{ MKM}$$

Качество поверхностного слоя заготовки:

$$R_{z_{i-1}} = 37, T_{i-1} = 110, R_{z_{i-1}} + T_{i-1} = 147$$

Суммарная пространственная погрешность заготовки:

$$\rho_{i-1} = 42 \text{ MKM}$$

Погрешность установки:

$$E_i = 50 \text{ MKM}$$

Для достижения требуемых параметров точности и качества поверхности \emptyset 28 Н7 (0.021) предусматривается:

- чистовое растачивание IT8 ¹⁶
- шлифование IT7 $\stackrel{\textit{0,8}}{\vee}$

Элементы припуска для каждого перехода:

- после зенкерования:

$$\rho_{i-1} = 042 \text{ MKM}$$

- после чистового растачивания:

$$\rho_{i-1} = 0.06 \times 42 = 2.4 \text{ MKM}$$

Принимаем 2 мкм.

$$E_i = 50$$
 мкм

Припуск для чистовой расточки:

Подставив все необходимые значения в формулу (2.8), получаем:

$$z_{i_{min}} = 2 \times \sqrt{47 + \sqrt{42^2 + 50^2}} = 424 \text{ MKM}$$

Для шлифования:

$$R_{z_{i-1}} = 12, T_{i-1} = 50$$

Подставив все необходимые значения в формулу (2.8), получаем:

$$z_{i_{min}} = 2 \times (2 + 50) + \sqrt{2^2 + 50^2} = 224 \text{ MKM}$$

Данные заносим в таблицу 2.2.

Таблица 2.2 – Расчет припусков на внешнюю и внутреннюю поверхность

Технологические операции и переходы	Элег		припус км	ска,	Расчетный припуск, мкм	Расчетный ρ - ρ, мм	Допуск ТD, мкм	_	льные ы, мкм	Предел припуск	
переходы	$R_{z i-1}$	T _{i-1}	ρ_{i-1}	E _i				max	min	Z_{max}	Z_{\min}
Наружная поверхность Ø76(-0,03) Заготовка.						78,95	1600	80,55	78,95		
Черновое точение	360	200	680	50	2100	76,85	740	77,59	76,85	2960	2100
Получистовое точение	125	120	40	50	620	76,23	210	76,44	76,23	1150	620
Чистовое точение	40	40	2,4	50	260	75,97	30	76	75,97	440	260
Внутренняя поверхность В Ø 28НН7 (+0,021) Размер после сверления						27,373	140	26	25,86		
Чистовое растачивание	37	110	42	50	424	27,797	52	27,748	27,696	1836	1748
Шлифование	12	50	2	50	224	28,021	21	28,021	28	304	224

2.4 Разработка маршрута технологического процесса

Последовательность обработки основных поверхностей:

1. Внутреннее отверстие диаметр 28Н7.

сверление IT14

рассверливание IT14

Зенкерование отверстия диаметр 26H9 IT9

Чистовое точение IT8

шлифование IT7

2. Наружная поверхность диаметр 76h11 и диаметр 54h11.

Черновое точение IT14

Получистовое точение IT9

Чистовое точение IT8

3. Торцы внешние 50 h11

Черновое точение IT14

Получистовое точение IT 9

Чистовое точение IT 8

шлифование IT 7

4. Внутренние торцевые углубления.

Канавка - черновое точение

чистовое точение

5. шпоночный паз

Долбление IT 8

6. Зубчатые венцы.

зубофрезерование

Зубошлифование (Ra 0,8)

Зубодолбление

Зубошлифование (Ra 0,8)

7. Сверление однократное IT 9.

Нарезание резьбы IT 8

Маршрут обработки

Деталь: Блок – шестерня.

Материал: Сталь 20X ГОСТ 4543-84. Цементировать h = 0,8...1, 48...50.

Заготовка: штамповка в закрытых штампах.

Оборудование: Горяче-ковальный автомат.

Количество деталей из одной заготовки – одна.

Технологический маршрут обработки заготовки детали блок-шестерня и выбранные средства технологического оснащения занесем в таблицу 2.3.

Таблица 2.3 — Технологический маршрут обработки и средства технологического оснащения

No	Содержание и	Наименование	Оснастка
операции	наименование операции	оборудования	Оснастка
005	Отрезать заготовку	Абразивно- отрезной станок 8Б262	Тиски
010	Ковальная		
015	Термическая (обжиг)		
020	Токарно-винторезная черновая Первый установ: - Подрезка торцов Ø54 и Ø76 одновременно Сверления центрального отверстия Ø16 Обтачивание поверхности Ø54 и проточка канавки Ø43.	Шестишпиндельный полуавтомат с двойной индексацией. Мод. КА-104	3-х кулачковый патрон

	Второй установ:		
	Второй установ:		
	- Подрезка торцов Ø45 и		
	Ø76 одновременно.		
	- Сверление отверстия		
	Ø25.		
	-Обточка поверхностей		
	Ø45 и Ø76.		
	-Зенкерование отверстия		
	Ø43H9.		
025	Термообработка (обжиг)		
	Токарно-автоматная		
	чистовая		
	Первый установ:		
	- Обточка поверхностей		
	Ø76 и Ø54 получистовая,		Оправка
	чистовая подрезка		
	торцов Ø76 и Ø54.	Восьмишпиндельн	
	- Растачивание канавки	ый горизонтальный	
020	Ø33.	полуавтомат с	
030	- Снятие фасок.	двойной	
	Второй установ:	индексацией. Мод.	
	- Подрезка торцов Ø45 и	1Б240П-8	3-x
	Ø76.		кулачковый
	- Растачивание Ø28H7		патрон
	чистовая тонкое.		

1			
	- Растачивание		
	канавки Ø35.		
	- Снятие фасок.		
	Контрольная		
	Долбежная		
035	Долбежная - Долбление шпоночного паза 8×23	Станок для долбления мод. 7A412	Специальное приспособлен ие для долбления шпоночного паза
040	Зубофрезерная - Фрезеровать 36 зубьев m = 2 (под шлифование)	Зубофрезерный станок мод. 5Б32	Приспособлен ие зубофрезерное
045	Закруглить 36 зубов m = 2	Зубозакругляющий станок полуавтомат 5E580	Приспособлен ие
050	Зубофрезерная - Фрезеровать 25 зубьев m = 2 (под шлифование)	Зубофрезерный станок мод. 5Б32	Приспособлен ие зубофрезерное
055	Закруглить 25 зубьев m = 2	Зубозакругляющий станок полуавтомат 5E580	Приспособлен ие

	Зачистить заусенцы на	Одношпиндельный полуавтомат для	3-x
060	торцах 36 зубьев	снятия фасок модели 5Б525	кулачковый патрон
065	Зачистить заусенцы на торцах 25 зубьев	Одношпиндельный полуавтомат для снятия фасок модели 5Б525	3-х кулачковый патрон
070	Сверлильная - Сверлить отверстие Ø67 под резьбу М8	Вертикально- сверлильный станок модели 2М112	Кондуктор
075	Резьбонарезная - Нарезать резьбу М8	Вертикально- сверлильный станок модели 2М112	Кондуктор
080	Термообработка Цементировать h0,81 HRC4850 Резьбу от цементации беречь. Закалка. Нормализация.		
085	Шлифовальная Шлифовать торец Ø45 и Ø54	Круглошлифовальный станок мод. 3A151	Приспособлен ие

	Шлифовальная		
000	Шлифовать $z = 36$,	Зубошлифовальный	Приспособлен
090	m = 2. Шлифовать	станок 5Б833	ие
	дважды.		
	Шлифовальная		
095	Шлифовать $z = 25$,	Зубошлифовальный	Приспособлен
093	m=2. Шлифовать	станок 5Б833	ие
	дважды.		
100	Мойка	Моечная машина	
105	Технический контроль		
	Нанесение		
110	антикоррозионного		
	покрытия		

2.5 Расчет режимов резания

Операция 020 - токарно-винторезная черновая.

Обработка выполняется на шестишпиндельном горизонтальном полуавтомате с двойной индексацией модели КА-104. Черновая обработка проводится полностью на этом станке.

Обработка центрального отверстия проводится продольным суппортом полуавтомата.

Формулы, используемые для расчетов при наружном точении, представлены ниже.

Скорость резания определяем по формуле (2.9):

$$V = \frac{C_{v}}{T^{M} \times t^{xv} \times S^{yv}} K_{v}, M/MИH$$
 (2.9)

Сила резания определяем по формуле (2.10):

$$P_{z} = C_{pz} \times t^{xpz} \times S^{ypz} \times V^{npz} \times K_{pz}, H$$
 (2.10)

Длина рабочего хода определяем по формуле (2.11):

$$L = L_{\text{net.}} + L1 + L2, \text{ MM}$$
 (2.11)

Мощность резания определяем по формуле (2.12):

$$N = \frac{P_z \times V}{102 \times 60}, \text{ kBT}$$
 (2.12)

где T - период стойкости инструмента, мин; t - глубина резания, мм; $l_{\text{дет.}}$ - длина обработки, мм; S - подача, мм/об; l_1 , l_2 - величины врезания и перебега.

На рисунке 2.4 показана схема работы станка.

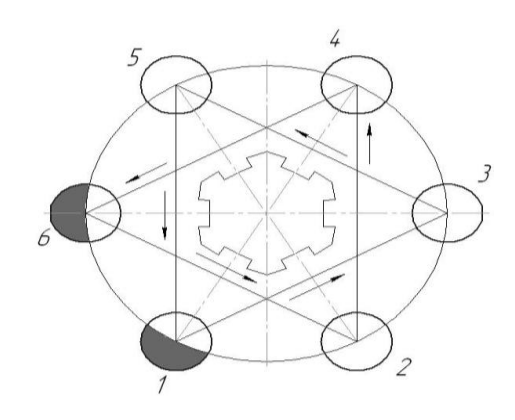


Рисунок 2.4 – Схема работы станка

Первый установ:

1 позиция - загрузочная;

3 позиция, 5 позиция - рабочие позиции.

Второй установ:

6 позиция - загрузочная;

2 позиция, 4 позиция - рабочие позиции.

Расчет режимов резания выполняем для комплекта инструментов на данной позиции и принимаем лимитирующие.

Первый установ.

Позиция 1 (загрузочная).

На рисунке 2.5 показана схема выполнения операций по подрезке торцов и сверлению центрального отверстия.

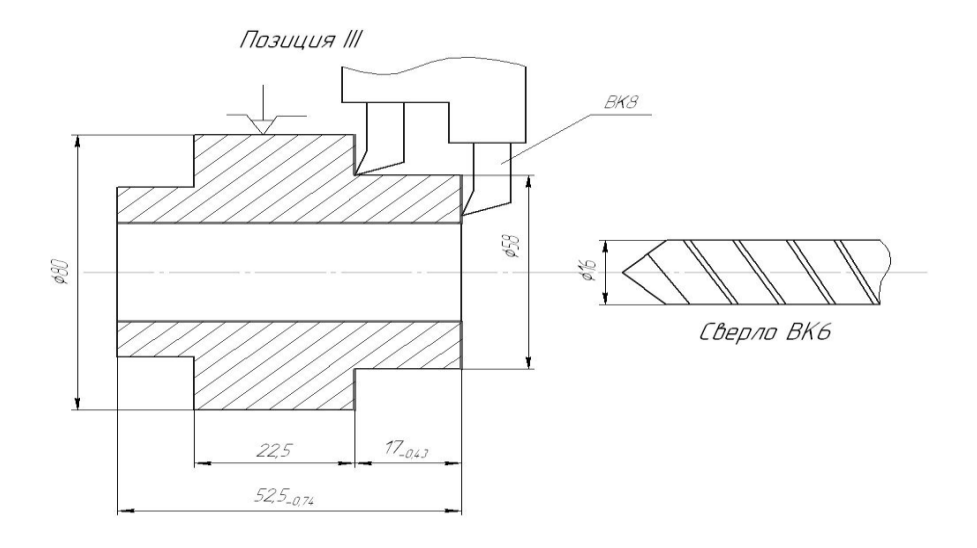


Рисунок 2.5 — Сверление отверстия и подрезка торцов

- 1. Сверление Ø16мм, L=54мм.
- 2. Подрезка торцов последовательная.

Для подрезания торцов: Глубина резания t=1,5 мм; Резцы ВК8 – специальные; Стойкость инструмента T=120 мин.

Расчет проводим, используя рекомендации [1].

Скорость резания определяем по формуле (2.13):

$$V = \frac{C_V \times K_1 \times K_2 \times K_V}{T^M \times t^{xv} \times S^{yv}}, M/MUH$$
 (2.13)

Значения коэффициентов и показателей значений выбираем по [1].

$$C_v = 292$$
; $X_v = 0.3$; $y_v = 0.15$; $m = 0.18$; $k_v = 0.85$; $k_1 = 0.8$; $k_2 = 0.9$.

Подачу выбираем по [1], поправочный коэффициент выбираем по [1].

По паспорту станка принимаем S=0,3 мм/об.

Подставив все необходимые значения в формулу 2.13, получаем:

$$V = \frac{292 \times 0.8 \times 0.9 \times 0.85}{120^{0.15} \times 1.5^{0.3} \times 0.3^{0.15}} = 28 \text{ м/мин}$$

Число оборотов для диаметра 80: n = 111 об/мин;

Число оборотов для диаметра 58: n = 153 об/мин;

По паспорту станка принимаем: n=101об/мин.

Тогда скорости будут равны:

- для диаметра 80 рассчитаем по формуле (2.12):

$$V = \frac{\pi dn}{1000} = \frac{3,14 \times 80 \times 101}{1000} = 25,37 \text{ м/мин}$$

- для диаметра 58

$$V = \frac{\pi dn}{1000} = \frac{3,14 \times 58 \times 101}{1000} = 18,39 \text{ м/мин}$$

Сила резания определяем по формуле (2.15):

$$P_{z} = C_{pz} \times t^{xpz} \times S^{ypz} \times V^{npz} \times K_{pz} \times K_{uy} \times K_{3}$$
 (2.15)

где $C_p = 300$; $K_{pz} = 0.85$; $X_p = 1$; $K_{uz} = 0.8$; $y_p = 0.75$; $K_3 = 0.9$; $n_{pz} = -0.15$.

$$P_z = 300 \times 1.5 \times 0.3^{0.75} \times 25.37^{-0.15} \times 0.85 \times 0.85 \times 0.8 \times 0.9$$
 H

$$P_z = 84,3 H$$

Мощность резания:

Подставив все необходимые значения в формулу (2.12), получаем:

$$N = \frac{P_z \times V}{60 \times 102} = \frac{84,3 \times 25,37}{60 \times 102} = 0,35 \text{ kBT}$$

Расчет времени обработки определяем по формуле (2.16):

$$T_M = \frac{L}{n \times S} = \frac{l_{\partial em} \times l_{ep} \times l_{nep}}{n \times S}$$
, мин (2.16)

для диаметра 80 L = 15 мм, n = 101 об/мин

для диаметра $58 L = 25 \,\text{мм}, \ n = 0.3 \,\text{мм/об}$

$$T_{M} = \frac{15}{101 \times 0.3} = 0.49$$
 мин

$$T_{M} = \frac{25}{101 \times 0.3} = 0.82$$
 мин

Сверление отверстия Ø16 исполняется в продольном суппорте. Выбираем подачу при сверлении $S = 0.2 \, \text{мм/об}$.

Число оборотов сверла (инструментального шпинделя) выбирается относительно числа оборотов рабочего шпинделя по коэффициенту сверления. Для этого по нормативам в зависимости от диаметра сверления и материала выбираем скорость резания $V_2 = 12\,$ м/мин.

Число оборотов сверла определяем по формуле (2.17):

$$n_2 = \frac{1000 \times 12}{3.14 \times 16} = 238 \text{ ob/Muh}$$
 (2.17)

Коэффициент сверления К определяется по формуле (2.18):

$$K = \frac{n_2}{n_1} = \frac{238}{101} = 2,36 \tag{2.18}$$

По паспорту станка K = 2 значит обороты сверла, будут:

$$n = 2 \times 202 = 404$$
 об/мин

Скорость резания:

Подставив все необходимые значения в формулу (2.12) получаем:

$$V = \frac{\pi dn}{1000} = \frac{3,14 \times 16 \times 202}{1000} = 10,1$$
 м/мин

Сила резания определяется по формуле (2.25):

$$P_{z} = 10 \times C_{p} \times D^{q} \times S^{y} \times K_{p}, H \qquad (2.19)$$

где
$$C_p = 68$$
; $q = 1$; $y = 0.7$; $K_p = 0.75$

$$P_z = 10 \times 68 \times 16^1 \times 0, 2^{0,7} \times 0, 75 = 2858 \text{ H}$$

Мощность резания:

Подставив все необходимые значения в формулу (2.12), получаем:

$$N = \frac{P \times V}{60 \times 102} = \frac{244,8 \times 10,14}{60 \times 102} = 4,05 \text{ kBT}$$

Время обработки:

Подставив все необходимые значения в формулы получаем:

$$T_{M} = \frac{L}{n \times S}$$
, мин

$$L = l_{\partial em} \times l_{ep} \times l_{nep} = 54 + 16 + 70 \text{ MM}$$

$$T_{M} = \frac{70}{202 \times 0.2} = 1,73$$
 мин

Общее время обработки на данной операции:

$$T = 0.82 + 1.73 = 2.55$$
 мин

Позиция 5

На этой позиции производится одновременно обработка поверхности

диаметром $56,5_{-0,74}$ и снятие технологической фаски $2\times45^{\circ}$ с продольного суппорта, растачивание канавки 7 мм с поперечного суппорта.

Режимы резания для обработки канавки 7 мм — лимитированной операции.

На рисунке 2.6 показана схема выполнения операций по обработке поверхностей на данной позиции.

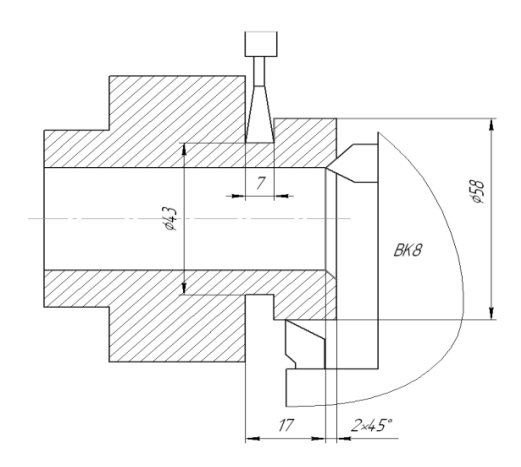


Рисунок 2.6 – Обработка диаметральной поверхности, снятие фаски и растачивание канавки

Глубина резания t = 7,5 мм; резец ВК8; стойкость T = 120 мин.

$$V = \frac{C_v \times K_1 \times K_2 \times K_v}{T^M \times t^{xv} \times S^{yv}}$$
, м/мин

$$C_v = 292$$
; $X_v = 0.3$; $y_v = 0.15$; $m = 0.18$; $k_v = 0.85$; $k_1 = 0.8$; $k_2 = 0.9$.

Подачу выбираем по [1] $S = 0.2 MM / o \delta$.

Поправочный коэффициент k = 0.8; BK8.

$$S = 0.2 \times 0.8 = 0.16 \text{mm/of}$$

По паспорту станка принимаем S = 0.12 мм/об

Подставив все необходимые значения в формулу (2.12) получаем:

$$V = \frac{292 \times 0.8 \times 0.9 \times 0.85}{120^{0.18} \times 7.5^{0.3} \times 0.12^{0.15}} = 18,03 \text{ м/мин}$$

Число оборотов

Подставив все необходимые значения в формулу (2.12) получаем:

$$n = \frac{1000 \times V}{\pi \times d} = \frac{1000 \times 18,03}{3,14 \times 56,5} = 102 \text{ об/мин}$$

По паспорту станка выбираем:

n = 101 об/мин.

Скорость резания

Подставив все необходимые значения в формулу (2.12) получаем:

$$V = \frac{\pi dn}{1000} = \frac{3,14 \times 56,5 \times 101}{1000} = 17,44 \text{ м/мин}$$

Сила резания

Подставив все необходимые значения в формулу (2.15) получаем:

$$P_{z} = C_{pz} \times t^{xpz} \times S^{ypz} \times V^{npz} \times K_{pz} \times K_{uy} \times K_{3}, H$$

где
$$C_p = 408$$
; $K_{pz} = 0.85$; $X_p = 0.72$; $K_{uz} = 0.8$; $y_p = 0.8$; $K_3 = 0.9$; $n_{pz} = 0.8$; $N_p = 0.8$;

Мощность резания

Подставив все необходимые значения в формулу получаем:

$$N = \frac{P_z \times V}{60 \times 102} = \frac{191,5 \times 17,44}{60 \times 102} = 0,54 \text{ kBT}$$

Время обработки

Подставив все необходимые значения в формулу получаем:

$$T_{M} = \frac{L}{n \times S}$$
, мин $T_{M} = \frac{10}{101 \times 0,12} = 0,82$ мин

Обработка наружного диаметра 56,5:

$$L_{a} = 10 \,\text{MM}; \ t = 1.5 \,\text{MM}; \ S = 0.3 \,\text{MM}.$$

Обороты шпинделя:

n = 101 об/мин; V = 17,44 об/мин.

Обороты шпинделя выбираем по лимитирующим операциям.

Сила резания:

Подставив все необходимые значения в формулу получаем:

$$P_z = C_{pz} \times t^{xpz} \times S^{ypz} \times V^{npz} \times K_{pz} \times K_{uv} \times K_3$$
, H

где
$$C_p = 300$$
; $K_{pz} = 0.85$; $X_p = 1$; $K_{uz} = 0.8$; $y_p = 0.75$; $K_3 = 0.9$; $n_{pz} = -0.15$
$$P_Z = 300 \times 1.5 \times 0.3^{0.75} \times 17.44^{-0.15} \times 0.85 \times 0.8 \times 0.9 = 75 \text{ H}$$

Мощность резания:

Подставив все необходимые значения в формулу получаем:

$$N = \frac{P_2 \times V}{60 \times 102} = \frac{75 \times 17,44}{60 \times 102} = 0,21 \text{ kBT}$$

Время обработки:

Подставив все необходимые значения в формулу получаем:

$$T_{M} = \frac{L}{n \times S} = \frac{15}{101 \times 0.3} = 0.5 \text{ мин}$$

Время обработки фаски:

$$T_{M} = \frac{L}{n \times S} = \frac{5}{101 \times 0.3} = 0.16$$
 мин

Время перекрывается. Лимитирующая операция растачивание канавки $T_{_{\rm M}} = 0.82 \, .$

Второй установ – переустановка.

Деталь обрабатывается с другой стороны.

Позиция 6 – загрузочная

Деталь переставляется, базирование выполняется по уже обработанной поверхности диаметром 56,5 (48,5).

Позиция 2

На этой позиции выполняется рассверливание отверстия с диаметра 16 до диаметра 25 с продольного суппорта и подрезка торцов с поперечного суппорта. На рисунке 2.7 показана схема выполнения операций по обработке поверхностей на данной позиции.

Для подрезания торцов глубина резания $t = 1,5\,$ мм. Режимы резания выбираем аналогично установленным на позиции 3.

Скорость резания:

$$V = \frac{C_v \times K_1 \times K_2 \times K_v}{T^M \times t^{xv} \times S^{yv}}, M/MUH$$

Значения коэффициентов и показателей значений выбираем по [1]. $C_v = 282; \; X_v = 0.3; \; y_v = 0.15; \; m = 0.18; \; k_v = 0.85; \; k_{_1} = 0.8; \; k_{_2} = 0.9 \, .$

Подачу выбираем по [1], S = 0.3 мм/об, так как обороты всех шпинделей одинаковы n = 101 об/мин.

Поправочный коэффициент k = 0.45, выбираем по [1].

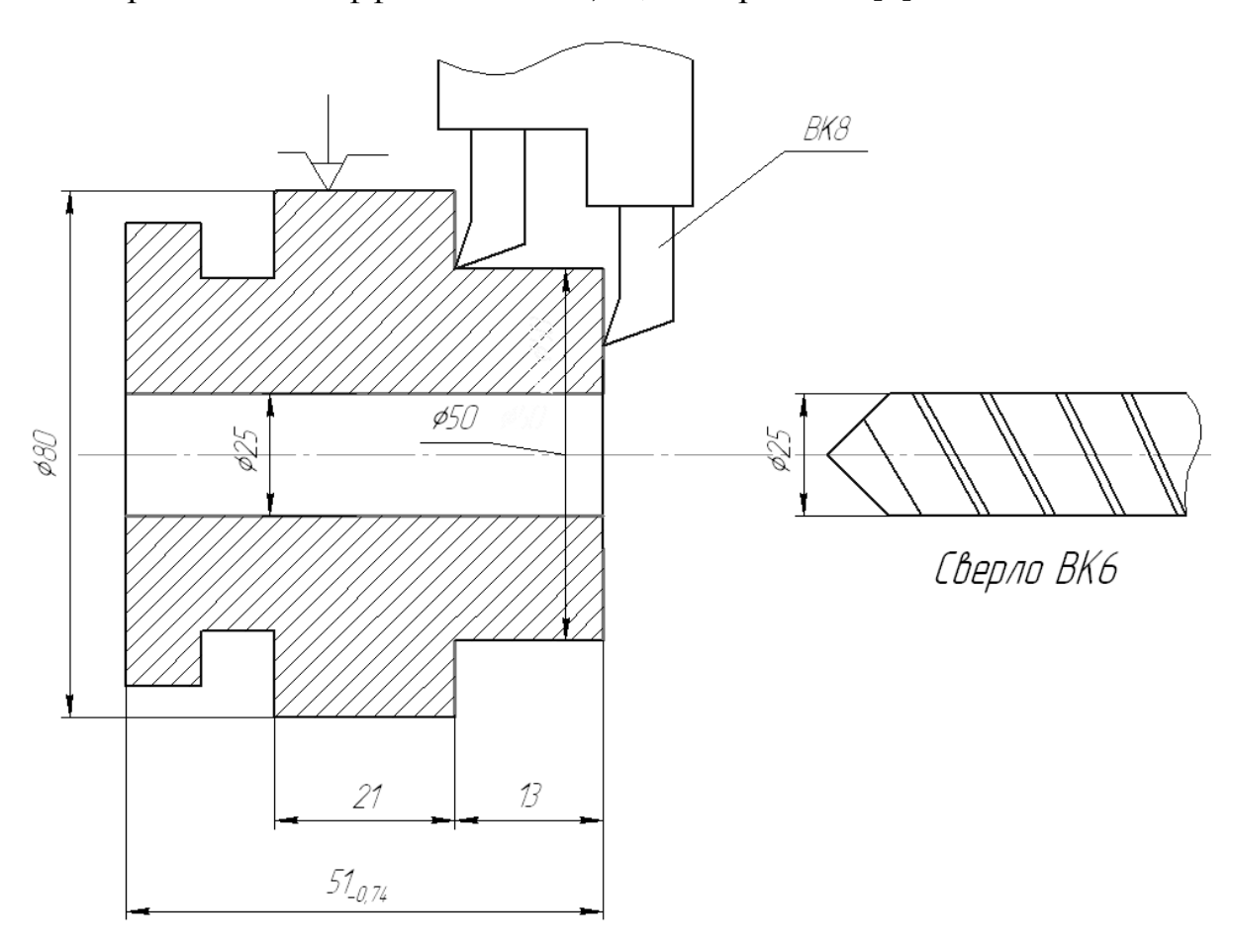


Рисунок 2.7 – Обработки торцов и рассверливания технологического отверстия

По паспорту станка принимаем $S = 0.3 \, \text{мм/об}$.

Подставив все необходимые значения в формулу получаем:

$$V = \frac{292 \times 0.8 \times 0.9 \times 0.85}{120^{0.15} \times 1.5^{0.3} \times 0.3^{0.15}} = 28 \text{ м/мин}$$

Скорости резания для диаметров будут равны:

Скорость резания для Ø80:

Подставив все необходимые значения в формулу получаем:

$$V = \frac{\pi dn}{1000} = \frac{3,14 \times 80 \times 101}{1000} = 25,37$$
 м/мин

Скорость резания для Ø50:

$$V = \frac{\pi dn}{1000} = \frac{3,14 \times 50 \times 101}{1000} = 15,85 \text{ м/мин}$$

Сила резания: $P_z = 84,3 \text{ H}$

Мощность резания: N = 0,35 кВт

Время обработки резца 1:

Подставив все необходимые значения в формулу получаем:

$$T_{M} = \frac{L}{n \times S} = \frac{20}{101 \times 0.3} = 0,66$$
мин

Рассверливание отверстия Ø25 с продольного суппорта t = 4,5 мин. Расчет ведется аналогично позиции 3.

Подача S = 0.2 мм/об; число оборотов сверла $n_2 = 202$ об.

Скорость резания:

Подставив все необходимые значения в формулу получаем:

$$V = \frac{\pi dn}{1000} = \frac{3,14 \times 25 \times 202}{1000} = 15,85 \text{ м/мин}$$

Сила резания:

Подставив все необходимые значения в формулу получаем:

$$P_z = 10 \times C_p \times D^q \times S^y \times K_p$$
, H

Где $C_{_p} = 67$; $K_{_{pz}} = 0.75$; $X_{_p} = 1.2$; $y_{_p} = 0.65$, выбираем по [1].

$$P_z = 10 \times 67 \times 4,5^{1,2} \times 0,2^{0.65} \times 0,75 = 105,5 \text{ kg}$$

Мощность резания:

Подставив все необходимые значения в формулу получаем:

$$N = \frac{P_z \times V}{60 \times 102} = \frac{105,5 \times 15,85}{60 \times 102} = 0,27 \text{ kBT}$$

Время обработки:

Подставив все необходимые значения в формулу получаем:

$$T_{M} = \frac{L}{n \times S}$$
, мин

$$T_{\rm M} = \frac{76}{102 \times 0.2} = 1,88$$
 мин

Время обработки на 2 позиции:

$$T_{o6} = 1,88 + 0,66 = 2,54$$
 мин

Позиция 4

На этой позиции проводится одновременно обработка поверхности заготовки Ø77 и Ø47, с поперечного суппорта и зенкерование отверстия Ø26H9 с продольного суппорта последовательно.

Обтачивание поверхности, глубина резания $t = 1,5 \, \text{мм}$

Режимы резания: n = 101 об/мин; S = 0.3 мм/об.

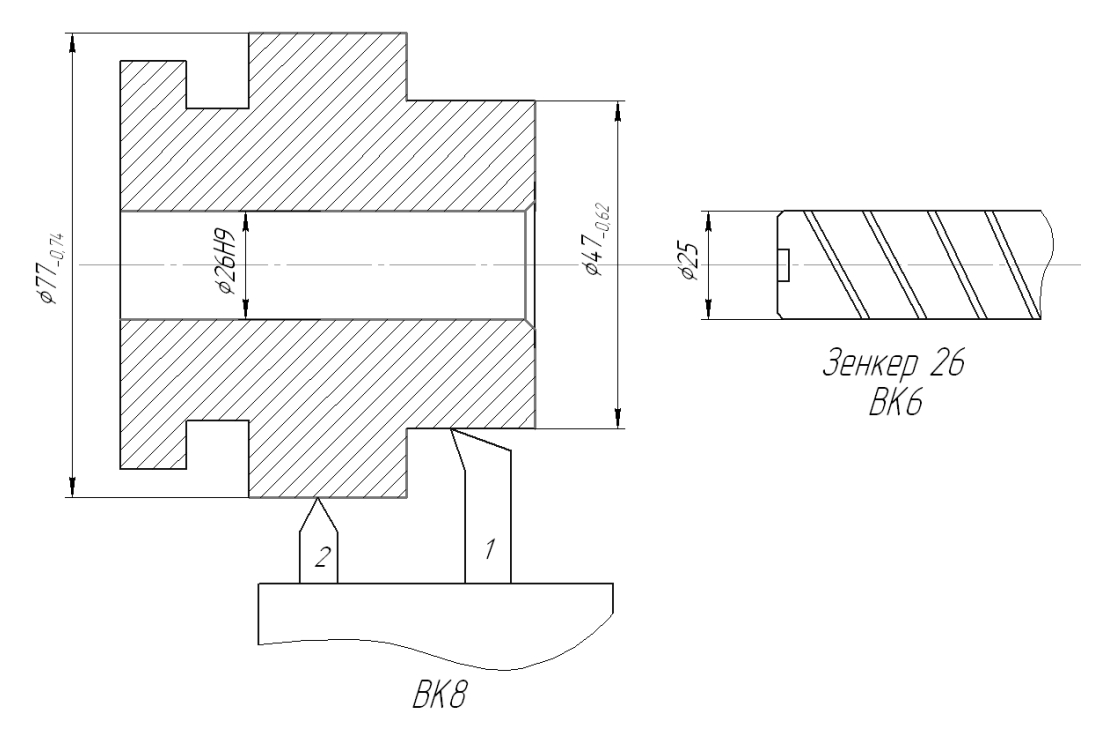


Рисунок 2.8 – Обработка поверхностей и зенкерование отверстия, выполняемые на позиции 4

Скорость резания:

Подставив все необходимые значения в формулу получаем:

Резец 1:
$$V = \frac{\pi dn}{1000} = \frac{3,14 \times 47 \times 101}{1000} = 14,9$$
 м/мин

Резец 2:
$$V = \frac{\pi dn}{1000} = \frac{3,14 \times 77 \times 101}{1000} = 24,4$$
 м/мин

Сила резания: $P_z = 84,3 \, H.$

Мощность резания:

Подставив все необходимые значения в формулу получаем:

$$N = \frac{P_z \times V}{60 \times 102} = \frac{84,3 \times 24,4}{60 \times 102} = 0,3 \text{ kBT}$$

Время обработки:

Подставив все необходимые значения в формулу получаем:

$$T_{M} = \frac{L}{n \times S}$$
, мин

$$T_{M} = \frac{30}{101 \times 0.3} = 1 \text{ MUH}$$

Время работы 2-го резца перекрывается.

Зенкерования отверстия диаметром 26Н9

Подачу при зенкеровании определяем по формуле (2.20):

$$S = C_s \times D^{0.6}$$
, mm/of (2.20)

где $C_s = 0.085$ (С. 397 «Справочник металлиста т.4»); $D = 26\,\mathrm{mm}$ - диаметр зенкера.

$$S = 0.085 \times 26^{0.6} = 0.085 \times 7 = 0.6$$

Поправочный коэффициент на подачу k = 1.

Глубину резания определяем по формуле (2.21):

$$t = \frac{D \times d}{2} = \frac{26 \times 25}{2} = 0.5 \text{ MM}$$
 (2.21)

Скорость резания определим по формуле:

$$V = \frac{C_v \times D^q}{T^M \times t^x \times S^y} \text{ M/MUH}$$
 (2.22)

где $C_v = 16.3$; q = 0.3; X = 0.2; y = 0.5; m = 0.3.

$$V = \frac{16.3 \times 26^{0.3} \times 0.85}{120^{0.3} \times 0.5^{0.2} \times 0.3^{0.5}} = 12.9 \,\text{M/MH}$$

Число оборотов зенкера:

Подставив все необходимые значения в формулу получаем:

$$n_2 = \frac{1000V}{\pi d} = \frac{1000 \times 12.9}{3.14 \times 26} = 158 \text{ об/мин}$$

Коэффициент зенкерования:

Подставив все необходимые значения в формулу получаем:

$$k = \frac{n_2}{n_1} = \frac{158}{101} = 1,56$$

По паспорту станка k = 1,5.

Тогда число оборотов зенкера:

$$n_2 = 1,5 \times 101 = 151,5$$
 об/мин

По паспорту станка $n_2 = 151$ об/мин

Скорость зенкерования:

Подставив все необходимые значения в формулу получаем:

$$V = \frac{\pi dn}{1000} = \frac{3,14 \times 26 \times 151}{1000} = 12,36 \text{ м/мин}$$

Время обработки:

Подставив все необходимые значения в формулу получаем:

$$T_{_{\mathrm{M}}} = \frac{L}{n \times S}$$
, мин

$$T_{M} = \frac{76}{151,5 \times 0.6} = 0,83 \text{ мин}$$

Таким образом, время цикла равно времени лимитирующей операции плюс время на холостом ходу.

Лимитирующая операция на позиции 3

Время цикла определим по формуле:

$$T_{uu\kappa} = T_{mum} + t_{xx}$$
, МИН

где $t_{xx} = 4,15$ сек - по паспорту станка.

$$T_{uu\kappa} = 2,55 + 0,07 = 2,62$$
 МИН

Полученные результаты расчетов заносим в таблицу 2.4.

Таблица 2.4 – Сводная таблица режимов резания

№		Операция 020 Токарная черновая											
	Содержание переходов	D	В	L	t	i	S	n	To	$M_{\kappa p}$	T	M	P
1	I Установка												
2	1 позиция												
3	Загрузочная												
4													
5	3 позиция												
6	Поперечный суппорт												
7	Точить торцы	Ø80		15	1,5		0,3	101	25,37	0,49			84,3
8		Ø58		25	1,5		0,3	101	18,39	0,82	2,55		
9	Продольный суппорт												
10	Сверление отверстия Ø16	Ø16		70	8 0,2		0,2	202	10,14	1,73			244,8
11													
12	5 позиция												
13	Поперечный суппорт												
14	Проточка канавки 7мм	Ø56,5		10	7,5		0,12	101	17,44	0,82	0,82		191,5

Продолжение таблицы 2.4

15	Продольный суппорт									
16	Точить поверхность Ø56,5	Ø56,5	15	1,5	0,3	101	17,44	0,5	0,82	75
17	II Установка									
18	6 позиция - перестановка									
19	2 позиция									
20	Продольный суппорт									
21	Рассверливание Ø25	Ø25	76	4,5	0,2	202	15,85	1,88		105
22	Поперечный суппорт	Ø50	17	1,5	0,3	101	15,85	0,56	2,54	
23	Точить торцы	Ø80	20	1,5	0,3	101	25,37	0,66		84,3
24										
25	4 позиция									
26	Продольный суппорт									
27	Зенкеровать Ø26Н9	Ø26	76	0,5	0,6	151,5	12,36	0,83		100
28	Поперечный суппорт									
29	Точить поверхность Ø47 _{-0,62}	Ø47	18	1,5	0,3	101	14,9	0,6	1	84,3

Продолжение таблицы 2.4

30	Точить поверхность Ø77 _{-0,74}	Ø77		30	1,5		0,3	101	24,4	1			
											$T_{\text{цикла}} 2,55 + 0,$	07 = 2,6	2 мин
	Операция 030 Токарная чистовая												
31	I Установка												
32	Позиция 7-загрузка												
33													
34	позиция 1												
35	Точить торец 77	Ø77		15	0,5		0,25	140	33,84	0,43	0,714		
36	Точить торец 56,5	Ø56,5		25	0,5		0,25	140	24,83	0,714	0,714		
37													
38	позиция 3												
39	Точить поверхность Ø76,23	Ø76,23		25	0,4		0,25	140	33,6	0,71	0,71		
40	Точить поверхность Ø54,23	Ø54,23		22	0,4		0,25	140	23,82	0,62	0,71		
41	Продольный суппорт												

Продолжение таблицы 2.4

42	Расточить канавку Ø39 h = 3	Ø39	8	6,5	0,12	140	17,14	0,48		
43										
44	позиция 5									
45	Точить поверхность Ø76 _{-0,03}	Ø76	25	0,115	0,25	140	33,6	0,71	0,71	
46	Точить поверхность Ø54 _{-0,025}	Ø54	22	0,115	0,25	140	23,82	0,61	0,71	
47	Продольный суппорт									
48	Расточить фаски									
49										
50	II Установка									
51	Позиция 8 загрузки									
52										
53	позиция 2									
54	Продольный суппорт									
55	Расточить канавку Ø43 h = 7	Ø43	12	8,5	0,12	140	18,9	0,85		

56	Поперечный суппорт										
57	Точить торец Ø76	Ø76	15	0,5	0,25	140	33,4	0,42	0,57		
58	Точить торец Ø47	Ø47	20	0,5	0,25	140	20,66	0,51	0,57		
59											
60	позиция 4										
61	Продольный суппорт										
62	Расточить отверстие Ø27	Ø27	25	0,5	0,12	140	11,8	1,48			
63	Снять фаски										
64	Поперечный суппорт								1,48		
65	Точить поверхность Ø45,5	Ø45,5	15	0,75	0,25	140	19,8	0,42			
66	Снять фаски										
67											
68	позиция 6										
69	Продольный суппорт										
70	Расточить отверстие Ø27,6	Ø27,6	25	0,3	0,12	140	11,8	1,48			
									1,48		
71	Точить поверхность Ø45	Ø45	15	0,25	0,25	140	19,78	0,42			
72									$T_{\text{цикла}}$ 1,48 + 0,0	0.7 = 1,5	55 мин

2.6 Техническое нормирование операций

Учитывая, что проектируемый технологический процесс предназначен для реализации на автоматической линии, к вопросам нормирования должны быть предъявлены жесткие требования.

Для расчета будем использовать следующие формулы:

Норма операционного времени определим по формуле (2.23):

$$T_{oII} = T_o + T_B, \text{ MUH}$$
 (2.23)

где $T_{\rm o}$ - основное (машинное) время, определим по формуле (2.24); $T_{\rm B}$ - вспомогательное время.

$$T_o = \frac{L_i}{S_{\min}} = \frac{L_i}{S_n}$$
, мин (2.24)

где L - длина рабочего хода, рассчитывается по формуле (2.11); i - количество проходов; S - подача, мм/об.

$$L = l + l_1 + l_2$$
, MM

где 1 - длина обрабатываемой поверхности; 1_1 - величина врезания; 1_2 - величина хода.

Норма штучного времени определяется по формуле (2.25):

$$T_{\text{пит}} = T_{\text{o}} + T_{\text{B}} + \frac{B_{\text{тех}}}{100} T_{\text{o}} + \frac{a_{\text{орг}}}{100} \P_{\text{o}} + T_{\text{B}} + \frac{a_{\text{отд}}}{100} \P_{\text{o}} + T_{\text{B}}$$
, мин (2.25)

где $a_{\rm opr}$ - процент времени на организацию обслуживания; $B_{\rm rex}$ - процент времени на техническое обслуживание; $a_{\rm отд}$ - процент времени на отдых.

Так как в проектируемой автоматической линии применяется оборудование параллельного действия и оборудование последовательного действия, то операционное время будет определяться следующим образом:

- для оборудования последовательного действия определим по формуле (2.26):

$$T_{\text{оп}}^{\Pi} = \sum_{i=1}^{n} T_{io} + T_{iB}, \text{ мин}$$
 (2.26)

где n - число позиций.

- для оборудования параллельного действия определим по формуле (2.27):

$$T_{\text{off}}^{\text{fip}} = T_{\text{io}_{\text{max}}} + T_{B_{\text{cri}}},$$
 (2.27)

где $T_{i_{max}}$ - максимальное время обработки.

Покажем в качестве примера нормирования операций:

020 - Токарная

Обработка многопозиционная, время обработки по позициям:

1 - установка детали, $T_B = 1,5$ мин;

2 - основное время, $T_{\rm B} = 2,54$ мин;

 $3 - T_0 = 2,55$ мин;

4 - $T_0 = 1,0$ мин;

 $5 - T_0 = 0.82$ мин;

6 -загрузка $T_{B} = 1,5$ мин;

Общее время цикла с учетом времени переиндексации позиций $T_{_{\rm M}} = 2,\!62\,{\rm мин}$

040 - Зубофрезерная

$$T_o = 20,55$$
 мин; $T_B = 1,2$ мин; $a_{opr} - 5\%$; $B_{rex} - 3\%$; $a_{org} - 7\%$;

$$T_{M} = T_{O} + T_{B} + \frac{B_{TeX}}{100}T_{O} + \frac{a_{OPF}}{100} \bullet_{O} + T_{B} + \frac{a_{OTZ}}{100} \bullet_{O} + T_{B}$$

 $T_{_{M}} = 20,\!55 + 1,\!2 + 0,\!03 \times 20,\!55 + 0,\!05 \times 21,\!75 + 0,\!07 \times 21,\!75 = 24,\!97\,\text{мин} \ \Rightarrow \ 25$

мин

050 - Зубодолбежная

 $T_o = 1,28$ мин; $T_e = 1.2$ мин;

 $a_{opr} - 5\%$;

 $B_{\text{Tex}} - 3\%$;

 $a_{OTJI} - 7\%$;

 $T_{\rm m} = 1,28+1,2+0,03\times1,28+0,05\times2,48+0,07\times2,48=2,81$ мин $\implies 2,8$ мин

3 Проектирование приспособления

Приспособление зубофрезерное предназначено для нарезания большого зубчатого венца на блок-шестерни (деталь $m=2\,$ мм, $z=36\,$ зубьев) червячной фрезой. Операция выполняется на зубофрезерном станке модели 5Б32.

Базирование заготовки в приспособлении осуществляется по предварительно обработанному шпоночному отверстию Ø28 H7. Приспособление вертикальное, закрепляется на рабочем столе станка с помощью 4 болтов М16, имеет пневматический привод зажима заготовки. Для этой цели используется баллон одностороннего действия с пружинным возвратом, оснащена вращающимся нипелем.

Фиксация заготовки осуществляется толкателем пневмокамеры с помощью быстросменной подкладной шайбы.

Силовой расчет зубофрезерного приспособления.

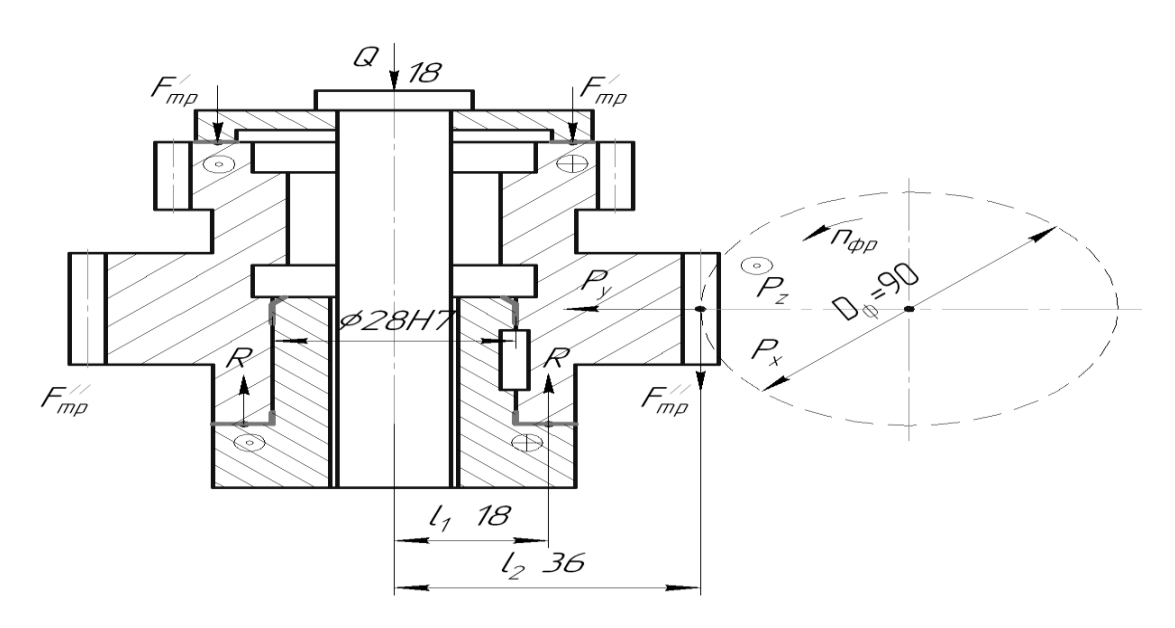


Рисунок 3.1 – Расчетная схема силового расчета

Согласно расчетам режимов резания:

 $N_{_{9}} = 0{,}58~$ кВт — эффективная мощность резания при частоте вращения n = 207~об/мин.

Крутящий момент:

$$M_{Kp} = 71620 \times \frac{N}{n} \times 1,36$$

$$M_{\text{кр}} = 71620 \times \frac{0,58}{207} \times 1,36 = 271,6 \text{ кг/см} = 2716 \text{ H}.$$

Определяем нужную силу зажатия Q через составляющие силы резания P_x , P_y , P_z , стремящиеся провернуть и сдвинуть деталь.

Проворот от силы P_z :

$$M_{np} > M_{pz}$$

$$M_{mp} = Q \times f \times r_1 + Q \times f \times r_2$$

$$M_{pz} = P_z \times \frac{D}{2} \times k,$$

где D - делительный диаметр шестерни

$$D_{111} = 72$$

$$P_z = \frac{M_{\kappa p}}{90},$$

где $D_{\varphi p}=90\,$ мм - диаметр фрезы;

 $M_{\kappa p}$ - крутящий момент на фрезе.

$$P_z = \frac{2716}{90} = 302 \text{ H}.$$

Таким образом сила Q будет определена по формуле:

$$Q = \frac{k \times P_z \times D}{2 \times \mathbf{C} \times f + r_2 \times f},$$

где k = 3,24 - коэффициент запаса

$$Q = \frac{3,24 \times 302 \times 72}{2 \times (8 \times 0,18 + 18 \times 0,18)} = 5435,96 \text{ H}.$$

$$Q = 5436 \text{ H}.$$

Опрокидование от силы P_x .

Чтобы опрокидывания не произошло и зазоры не раскрылись, необходимо обеспечить усилия зажатия:

$$Q = \frac{2 \times k \times P_x \times l_2}{L_1}$$

$$P_x = 0.4 \times P_z = 0.4 \times 302 = 120.8 \text{ H.}$$

$$Q = \frac{2 \times 3.24 \times 0.4 \times 302 \times 36}{18} = 1565 \text{ H.}$$

Смещение от действия P_{v} :

$$P_y = 0.2 \times P_z = 0.2 \times 302 = 60.4 \text{ H.}$$

$$Q''' = \frac{k \times P_y}{2 \times f}$$

$$Q'''' = \frac{3.24 \times 60.4}{2 \times 0.1} = 978 \text{ H.},$$

где f = 0,1 - коэффициент трения.

Таким образом, расчетной силу принимаем:

$$Q^{\prime} = 5435 \, H.$$

Усилие прижатия:

$$Q = 0.9 \times \frac{\pi \times D^2}{4} \times \rho - Q_1,$$

где $Q_1 = 88$ кг = 880H - усилие пружины;

D - приведенный диаметр

$$D = D - 2 \times t$$

t - толщина диафрагмы;

 ρ - диаметр камеры

Рабочее давление в пневмокамере $\rho = 4 \, \text{кг/см}^2$

$$Q = 0.9 \times \frac{3.14 \times D^2}{4} \times 4 - 88$$

$$Q = 5435 H = 543,5 кг.$$

$$D = \sqrt{\frac{543,5 - 8,8}{0,9 \times 3,14}} = 12,68.$$

$$D = 127$$
 MM.

Принимаем конструктивно диаметр диафрагмы D = 200 мм.

При этом допустимый ход штока:

$$L = 0,1...0,2D = 10...20$$
 MM.

Прочностные расчеты.

Рассчитываем болты приспособления для его закрепления на зубофрезерном станке.

Минимальный диаметр назначается по формуле:

$$d = \sqrt{\frac{4 \times k \times Q}{z \times \pi \times \Phi_{p}}},$$

где d - диаметр болта;

k = 2,5 - коэффициент запаса;

Q = 543.5 кг;

$$\phi_{\rm p} = 1000 \, {\rm kg/cm}^2$$
;

z = 4 - число болтов.

$$d = \sqrt{\frac{4 \times 2,5 \times 543,5}{4 \times 3,14 \times 1000}} = 0,66 \text{ cm}.$$

По конструктивным соображениям принимаем d = M16.

Расчет на прочность наиболее слабого звена.

Осуществим расчет резьбы штока мембранного привода, как наиболее слабого звена.

Резьба М16, $d_{min} = 14,701$

$$\sigma_{p} = \frac{4 \times Q}{\pi \times d^{2}}$$

$$\sigma_{p} = \frac{4 \times 543.5}{3.14 \times 14.7^{2}} = 320 \text{ kg/cm}^{2}.$$

$$\Phi_{p} = 1000 \text{ kg/cm}^{2}.$$

Расчет на прочность.

Для выполнения данной технологической операции необходимо обеспечить условие:

$$\sum E_{\text{cym}} \leq \delta$$
,

где $\sum E_{\text{сум}}$ - суммарная погрешность приспособления;

δ - допуск на выполненный размер – радиальное биение венца.

Суммарная погрешность определяется следующим образом:

$$\sum E_{\text{cym}} = \sqrt{E_{\text{G}}^2 + E_{\text{3}}^2 + E_{\text{np}}^2 + E_{\text{y}}^2 + E_{\text{H}}^2 + E_{\text{4}}^2 + \Delta y^2 + 3\Delta u^2 + \Delta A^2 + E\Delta y^2} \ ,$$

где $E_3 = 0$ - погрешность закрепления;

 E_{np} - погрешность приспособления;

$$\mathbf{E}_{np} = \delta - \mathbf{4}_1 \times \mathbf{E}_6 + \mathbf{k}_2 \times \mathbf{E}_3 \times \mathbf{w}$$

 $k_1 = 0.8$ - коэффициент, учитывающий что базовые поверхности не всегда принимают предельные значения размеров;

 ${\bf k}_2 = {\bf 0}$,6 - поправочный коэффициент;

w - экономическая погрешность обработки.

$$E_{\text{inp}} = 0.3 - 4.8 \times 0.083 + 0.6 \times 0.22 \times 0 = 0.23$$

 ${\rm E_{yct}} = 0.037\,{\rm mm}$ - погрешность установки приспособления на станке;

 $E_{\pi} = 0$ - погрешность установки режущего и вспомогательного инструмента на станке;

 $E_{\scriptscriptstyle \mathrm{II}} = 0$ - погрешность перекоса;

 $\Delta y = 0\,$ - погрешность обработки вследствие упругой деформации;

 $\Delta u = 0.01$ - погрешность на износ инструмента;

 $\Delta A = 0.011$ - погрешность наладки;

 $E\Delta y = 0.032$ - погрешность от неточности станка.

 E_{δ} - погрешность базирования;

$$E_6 = 2_{\Lambda 1} + \mu + \mu_2 + \Delta_2$$

 $\Delta_1 = 0.01$ мм – радиальный зазор;

 $\Delta_2 = 0.022\,$ мм – боковой зазор;

 $д_1 = 0.021$ - допуск на базовое отверстие;

 $д_2 = 0.02$ - допуск на оправку.

Таким образом: $E_{\delta} = 2 \times 0.01 + 0.021 + 0.022 + 0.022 = 0.083$ мм.

$$\sum E_{\text{cym}} = \sqrt{0.083^2 + 0^2 + 0.23^2 + 0.037^2 + 3 \times 0.01^2 + 0.011^2 + 0.032^2} = 0.25$$
 mm.

По условиям выполнения размера на операции предварительной обработки (для отделочных работ) допуск на радиальное биение $\delta = 0.25$. Таким образом, условие $\sum E_{\text{сум}} \leq \delta$ выполняется.

$$0,25 = 0,25$$

Данное приспособление можно использовать для операции зубофрезерование.

4 Безопасность и экологичность работы

4.1 Конструктивно-технологическая характеристика объекта

Таблица 4.1 - Паспорт технического объекта

Технический и/или	Операция	Должность	Технологическое	Используемые
технологический	технологич	работающего	оборудование	материалы
процесс	еского	, который	и/или техническое	и/или вещества
	процесса	будет	приспособление,	
	и/или вид	выполнять	устройство	
	предлагаем	предлагаемы		
	ых работ	й		
		технологичес		
		кий процесс		
		и/или		
		операцию		
Точение	Токарная	Оператор	Токарный	Металл от
	операция	станка с	многошпиндельны	обрабатываемо
		числовым	й станок К-104	й заготовки,
		программны		смазочно-
		M		охлаждающая
		управлением		жидкость
				Blasocut

4.2 Идентификация профессиональных рисков

Таблица 4.2 – Риски в профессиональной деятельности

Производственна	Производственный вредный и/или опасный фактор	Источник
я операция,		вредного
технологическая		производств
операция и/или		енного
эксплуатационна		фактора
я операция,		и/или
технологическая		опасного
операция; вид		производств
предлагаемых		енного
работ		фактора
Токарная	Острые кромки, заусенцы и шероховатость на	Токарный
операция	поверхностях заготовок, инструментов и	многошпинд
	оборудования, движущиеся машины и механизмы;	ельный
	подвижные части производственного оборудования;	станок К-104
	передвигающиеся изделия, заготовки, материалы,	
	опасные и вредные производственные факторы,	
	связанные с чрезмерно высокой температурой	
	материальных объектов производственной среды,	
	могущих вызвать ожоги тканей организма человека,	
	повышенный уровень и другие неблагоприятные	
	характеристиками шума	

4.3 Методы и технические средства снижения профессиональных рисков

Таблица 4.3 – Мероприятия направленные на снижение уровня опасных и вредных производственных факторов

Вредный производственный фактор и/или опасный производственный фактор	Технические средства защиты, организационно-технические методы частичного снижения, полного устранения вредного производственного фактора и/или опасного производственного фактора	Средства индивидуальной защиты работающего
Острые кромки, заусенцы и шероховатость на поверхностях заготовок, инструментов и оборудования, движущиеся машины и механизмы; подвижные части производственного оборудования; передвигающиеся изделия, заготовки, материалы, опасные и вредные производственные факторы, связанные с чрезмерно высокой температурой материальных объектов производственной среды, могущих вызвать ожоги тканей организма человека, повышенный уровень и другие неблагоприятные характеристиками шума	Замена, модернизация, либо наладка оборудования. Соблюдение техники безопасности выполнения работ.	Перчатки «Ангара», краги пятипалые с подкладкой, очки «Люцерна» прозрачные, беруши «Макс-30» со шнурком

4.4 Обеспечение пожарной и техногенной безопасности рассматриваемого технического объекта (производственно-технологических эксплуатационных и утилизационных процессов)

Таблица 4.4 – Идентификация классов и опасных факторов пожара

Произво	Используемое	Номер пожара	Опасные	Сопутствующие
дственн	оборудование		факторы	проявляющиеся
ый			при	факторы при пожаре
участок			пожаре	
и/или				
производ				
ственное				
подразде				
ление				
Участок	Токарный	Пожары, связанные с	Пламя и	Вынос (замыкание)
механиче	многошпиндел	воспламенением и	искры	высокого
ской	ьный станок К-	горением жидкостей или		электрического
обработк	104	плавящихся твердых		напряжения на
И		веществ и материалов (В)		токопроводящие части

		технологиче установок,	ских	
		оборудовани агрегатов, и		и
		иного имуще		

Таблица 4.5 - Выбор средства пожаротушения

Средст	Средств	Установ	Средства	Оборудов	Средства	Инструмен	Сигнал
ва	a	ки	автоматики	ание для	индивиду	т для	изация,
первич	мобиль	стацион	для	пожароту	альной	пожаротуш	связь и
НОГО	ного	арного	пожаротуш	шения	защиты	ения	оповещ
пожаро	пожаро	пожаро	ения		для	(механизир	ение
тушени	тушени	тушени			спасения	ованный и	при
Я	Я	я и/или			людей	немеханизи	пожаре
		пожаро				рованный)	
		тушащи					
		e					
		систем					
		Ы					
Внутре	Пожарн	Систем	Технически	Напорны	Карабины	Комплект	Извеща
нние	ые	ы для	е средства	e	пожарные	диэлектрич	тели о
пожарн	лестниц	пенного	оповещени	пожарные	, веревки	еский,	пожара
ые	ы,	пожаро	я и	рукава и	пожарные	лопаты,	х и
краны,	пожарн	тушени	управления	разветвле	,	багры,	задымле
огнету	ые	Я	эвакуацией	ния	противога	ломы,	ниях
шители	автомоб		пожарные		3Ы	топоры	
, ящики	или,						
c							
песком	4.6.0						

Таблица 4.6 – Средства обеспечения пожарной безопасности

		1
Название техпроцесса,	Вид предлагаемых к	Нормативные требования по
применяемого	реализации	обеспечению пожарной
оборудования, которое	организационных и/или	безопасности, а также
входит в состав	организационно-	реализуемые эффекты
технического объекта	технических	
	мероприятий	
Точение	Применение	Соблюдение мер пожарной
	автоматических	безопасности при проведении
	устройств обнаружения,	огневых работ, запрет на
	оповещения и тушения	курение и применение
	пожаров, проведение	открытого огня в
	инструктажа по	недозволенных местах,
	пожарной опасности,	проведение противопожарных
	контроль за правильной	инструктажей, применение
	эксплуатацией	средств пожаротушения
	оборудования	

4.5 Обеспечение экологической безопасности рассматриваемого технического объекта

Таблица 4.7 – Идентификация экологических факторов технического объекта

Наимено	Структурные	Воздейст	Воздействие	Воздействие технического
вание	составляющи	вие	технического	объекта на литосферу
техничес	e	техническ	объекта на	
кого	технического	ого	гидросферу	
объекта,	объекта	объекта		
технолог		на		
ического		атмосфер		
процесса		у		
Точение	Токарный	Пыль от	Взвешенные	Основная часть бытовых и
	многошпинд	металла	вещества,	промышленных отходов
	ельный		нефтепродукт	хранится в металлических
	станок К-104		Ы	контейнерах согласно нормам,
				затем вывозится согласно
				регламентированной процедуре

Таблица 4.8 — Разработанные (дополнительные и/или альтернативные) организационные и технические мероприятия для снижения антропогенного негативного воздействия

Название технического объекта	Точение, фрезерование, шлифование
Предлагаемые мероприятия для	Применение «мокрых» и «сухих» механических
снижения негативного	пылеуловителей
антропогенного воздействия на	
атмосферу	
Предлагаемые мероприятия для	Использование бессожевой обработки
снижения негативного	
антропогенного воздействия на	
гидросферу	
Предлагаемые мероприятия для	Соблюдение регламентированных процедур,
снижения негативного	связанных с отходами производства
антропогенного воздействия на	
литосферу	

4.6 Выводы по разделу «Безопасность и экологичность технического объекта» выпускной квалификационной работы бакалавра

В данном разделе рассмотрен технологический процесс изготовления блок-шестерни коробки скоростей токарного станка Proma SPI. Выявлены опасные и вредные факторы. Решены вопросы и разработаны мероприятия по противопожарной подготовке и охране окружающей среды и экологии.

5 Экономическая эффективность работы

Задача раздела — технико-экономическое сравнение двух вариантов технологического процесса (базового и проектного) и определение экономической эффективности проектируемого варианта. Для выполнения данного раздела необходимо краткое описание изменений технологического процесса изготовления детали, по вариантам, чтобы обосновать экономическую эффективность, внедряемых мероприятий. Основные отличия по сравниваемым вариантам представлены в качестве таблицы 5.1.

Таблица 5.1 – Отличительные особенности сравниваемых вариантов технологических процессов изготовления детали

Базовый вариант	Проектируемый вариант
Операция 050 -	- Зубофрезерная
<u>Оборудование</u> – зубофрезерный станок, модель 5Б32.	<u>Оборудование</u> – зубофрезерный станок, модель 5Б32.
<u>Оснастка</u> – приспособление	<u>Оснастка</u> – приспособление
зубофрезерное.	зубофрезерное модернизированное.
<u>Инструмент</u> – фреза.	<u>Инструмент</u> – фреза.
$T_{I\!I\!I\!T}$ = 34,96 мин.	$T_{I\!I\!I\!T}$ = 24,97 мин.
$T_O = 20,55$ мин.	$T_O = 20,55$ мин.

Описанные в таблице 5.1. условия являются исходными данными для определения цены на оборудование, оснастку и инструмент, необходимые для проведения экономических расчетов, с целью обоснованности внедрения изменений. Однако, представленной предложенных информации ДЛЯ правильного выполнения раздела будет не достаточно, так как необходимо знание следующих величин: материал изделия, масса детали и заготовки, а также способ получения заготовки, которые влияют на величину расходов основного материала. Однако, если проектным вариантом технологического процесса не предусмотрено изменение параметров заготовки или детали, то определять данную статью не целесообразно, так как не зависимо от варианта, величина будет одинаковой и на разницу между сравниваемыми процессами оказывать влияние не будут; нормативные и тарифные значения, используемые для определения расходов на воду, электроэнергию, сжатый воздух и т.д.; часовые тарифные ставки, применяемые при определении заработной платы основных производственных рабочих.

Для упрощения расчетов, связанных с проведением экономического обоснования, совершенствования технологического процесса предлагается использовать пакет программного обеспечения Microsoft Excel. Совокупное использование данных и соответствующей программы позволит определить основные экономические величины, рассчитываемые в рамках поставленных задач и целей. Согласно алгоритму расчета, применяемой методики [23], первоначально следует определить величину технологической себестоимости, которая является основой ДЛЯ дальнейших расчетов. Структура технологической себестоимости, по вариантам, представлена в виде диаграммы на рисунке 5.1. Анализируя представленный рисунок, можно наблюдать уменьшающую тенденцию по затратам, входящим в технологическую себестоимость, что дает право сделать предварительное заключение об эффективности предложений. Однако, для вынесения окончательного выводы, необходимо еще провести ряд соответствующих расчетов. Учитывая основные отличия проектируемого технологического процесса, определим размер необходимых инвестиций для внедрения. Согласно описанной методике расчета капитальных вложений [23], данная величина составила 28685,4 руб., в состав которой входит весь перечень затрат, необходимый для осуществления технологического Далее процесса. совершенствования выполним экономические расчеты по определению эффективности предложенных Применяемая методика расчета [23], позволяет определить внедрений. необходимые величины, такие как: чистая прибыль, срок окупаемости, общий дисконтируемый доход и интегральный экономический эффект. Анализ описанных значений позволит сделать обоснованное заключение целесообразности внедрения. Все значения, полученные, при использовании описанной методики, представлены в таблице 5.2. При анализе представленных значений, особенно внимание необходимо уделять сроку окупаемости,

величине чистого дисконтированного дохода и индекса доходности. Все описанные параметры имеют значения, которые подтверждают эффективность внедрения описанного технологического проекта.

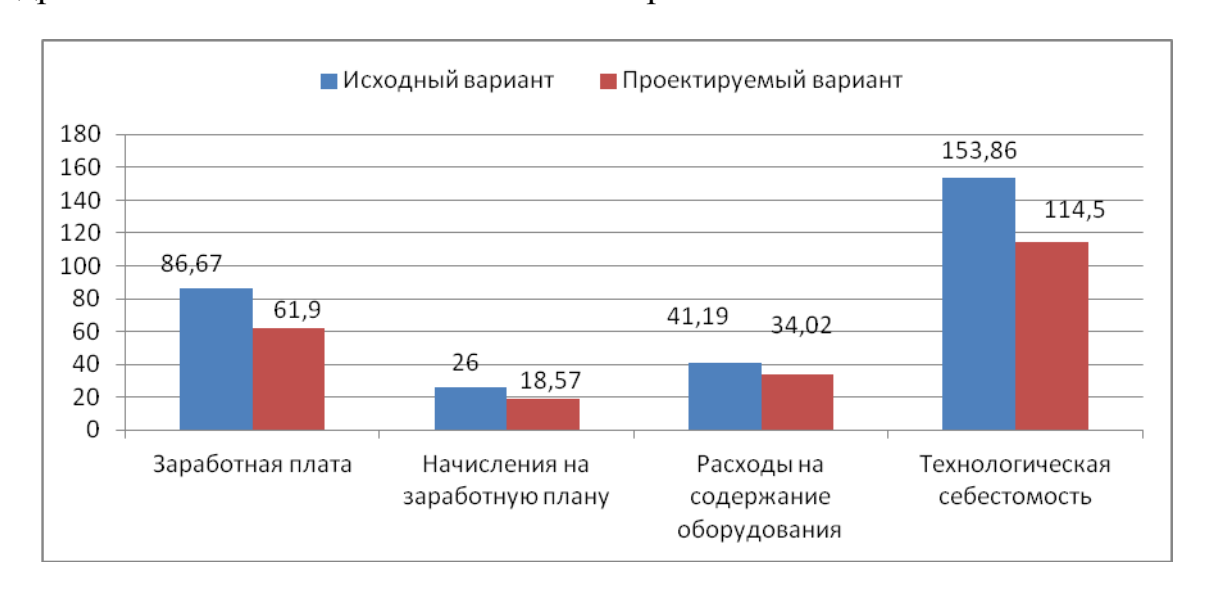


Рисунок 5.1 – Структура технологической себестоимости изготовления изделия, руб.

Таблица 5.2 – Результаты показателей эффективности внедрения предложений

№	Наименование показателей	Условное обозначение, единица измерения	Значение показателей
1	Чистая прибыль	$\Pi_{{\it ЧИСТ}}$, руб.	10391,2
2	Срок окупаемости инвестиций	T_{OK} , лет	4
3	Общий дисконтированный доход	Д _{ОБЩ.ДИСК} , руб.	32929,71
4	Интегральный экономический		4244,31
	эффект		
5	Индекс доходности	ИД, руб.	1,15

Получена положительная величина интегрального экономического эффекта — 4255,31 руб. Рассчитано значение срока окупаемости — 5 лет, который можно считать оптимальной величиной для машиностроительного предприятия. И наконец, индекс доходности, который составляет 1,15 руб./руб., что относиться к рекомендуемому интервалу значений этого параметра.

Данные значение позволяют сделать окончательное заключение о том, что внедряемый проект можно считать эффективным.

ЗАКЛЮЧЕНИЕ

В результате выполнения бакалаврской работы решена ее цель – разработан технологический процесса изготовления блок-шестерни коробки скоростей токарного станка Proma SPI.

Также в работе проанализированы исходные данные, выбрана стратегия разработки техпроцесса, разработаны технологический маршрут и схемы базирования, определены методы обработки каждой поверхности, рассчитаны припуски на обработку, спроектирована заготовка. Выбраны средства технологического оснащения. Определены режимы резания и нормы времени.

Спроектирована специальная оснастка — приспособление. Определены меры по экологичности и безопасности работы. Определена экономическая эффективность работы.

Были проведены следующие расчеты:

- расчет исходной заготовки;
- расчет технологичесности детали;
- расчет режимов резания;
- расчет межоперационных размеров и припусков;
- расчет элементов приспособления.

СПИСОК ИСПОЛЬЗОВАННОЙ ЛИТЕРАТУРЫ

- 1. Аверченков, В.И. Автоматизация проектирования технологических процессов [Электронный ресурс]: учебное пособие для вузов/ Аверченков В.И., Казаков Ю.М.— Электрон. текстовые данные.— Брянск: Брянский государственный технический университет, 2012.— 228 с.
- 2. Григорьев, С.Н. Методы повышения стойкости режущего инструмента: учебник для студентов втузов [Электронный ресурс] : учебник. Электрон.дан. М. : Машиностроение, 2009. 368 с.
- 3. Левашкин, Д.Г. Основы программирования станков с ЧПУ токарной группы: учебно-методическое пособие / Д.Г. Левашкин, В.И. Малышев, А.С. Селиванов. Тольятти: ТГУ, 2011. 108 с.
- 4. Металлорежущие станки [Электронный ресурс] : учебник. В 2 т. Т. 1 / Т. М. Авраамова [и др.] ; под ред. В. В. Бушуева. Москва : Машиностроение, 2011. 608 с.
- 5. Панкратов Ю. М. САПР режущих инструментов [Электронный ресурс] : учебное пособие. Электрон.дан. СПб. : Лань, 2013. 336 с.
- 6. Троицкий, О.А. Физические основы и технология обработки современных материалов [Текст] / О.А. Троицкий, Ю.В. Баранов, Ю.С. Аврамов, А.Д. Шаляпин. В 2-х томах. Т. 1.- М. Ижевск: Институт компьютерных исследований, 2004. 590 с.
- 7. Маслов, А. Р. Инструментальные системы машиностроительных производств : учеб.для вузов / А. Р. Маслов. Гриф УМО. Москва : Машиностроение, 2006. 335 с.
- 8. Гордеев, А.В. Основы технического творчества [Текст]: учебное пособие / А.В. Гордеев- Тольятти: ТГУ, 2008. 216 с.
- 9. Насад, Т.Г. Высокоскоростная лезвийная обработка труднообрабатываемых материалов с дополнительными потоками энергии в зоне резания [Электронный ресурс]:/ Т.Г. Насад, Дис. д-ра техн. наук: 05.03.01, Саратов: РГБ, -2006 404 с.

- 10. Насад, Т.Г. Оптимизация параметров процесса высокоскоростной обработки с тепловым воздействием [Текст]. Т.Г. Насад // Автоматизация и управление в машиностроении. Саратов СГТУ, 2004-С.97-100.
- 11. Кирюшин, Д.Е. Обработка резанием титановых сплавов [Текст] / Д.Е. Кирюшин, Т.Г. Насад // Автоматизация и управление в машино- и приборостроении.- Саратов СГТУ, 2005-С.105-108.
- 12. Насад, Т.Г. Оптимизация процесса высокоскоростной обработки коррозионных сталей [Текст]. Т.Г. Насад//Прогрессивные направления технологии машиностроения. Саратов СГТУ, 2004 с. 143-147.
- 13. Романенко, А.М. Режущий инструмент [Электронный ресурс] : учебное пособие. Электрон.дан. Кемерово :КузГТУ имени Т.Ф. Горбачева, 2012. 103 с.
- 14. Станки с ЧПУ в машиностроительном производстве [Электронный ресурс] : учебник. Ч. 1 / В. И. Аверченков [и др.] ; Брянский государственный технический университет. Брянск : БГТУ, 2012. 216 с.
- 15.Хейфец, М.Л. Проектирование процессов комбинированной обработки [Текст]. / М.Л.Хейфец- М.: Машиностроение. 2005.- 272 с
- 16.Палей, М.А. Допуски и посадки: справочник [Текст] / М.А. Палей М.: Машиностроение, 2001. 576с.
- 17. Филонов, И.П. Проектирование технологических процессов в машиностроении [Текст] / И.П. Филонов Минск, 2003. 909с.
- 18. Combined physico-chemical treatment: synergetic aspects [Текст]/ А.І. Gordienko, M.L. Kheifetz, L.M. Kozhuro et al. Minsk: Technoprint, 2004. 200 р.
- 19. Ермаков, Ю.М. Комплексные способы эффективной обработки резанием [Текст]/ Ю.М.Ермаков М.: Машиностроение, 2003. 272 с.
- 20. Малышев В.И. Технология изготовления режущего инструмента: [учебное пособие для вузов по направлению подготовки "Конструкторскотехнологическое обеспечение машиностроительных производств"] / В. И. Малышев. Старый Оскол: ТНТ, 2015. 439 с.

- 21. Шишмарев, В. Ю. Автоматизация производственных процессов в машиностроении : учеб. для вузов / В. Ю. Шишмарев. Гриф МО. Москва : Академия, 2007. 364 с.
- 22. Технология машиностроения. Энциклопедия. Технология изготовления деталей машин [Текст] / А.М. Дальский, А.Г. Суслов, Ю.Ф. Назаров и др. Под общ. ред. А.Г. Суслова. 2000. 840 с.
- 23.Зубкова, Н.В. Методические указания по экономическому обоснованию курсовых и дипломных работ по совершенствованию технологических процессов механической обработки деталей [Текст] / Н.В. Зубкова Тольятти: ТГУ, 2005.
- 24. Горина, Л. Н. Раздел выпускной квалификационной работы «Безопасность и экологичность технического объекта». Уч.-методическое пособие. [Текст]/ Л. Н. Горина Тольятти: изд-во ТГУ, 2016. 33 с.
- 25. Базров, Б.М. Модульная технология в машиностроении [Текст]. М.: Машиностроение, 2001. 368 с.

ПРИЛОЖЕНИЕ А

	фармат	Зона	Поз.	Обозначение	Наименование	Кол.	Приме чание
Іерв. примен.	N	- 45			<u>Документация</u>	HAIS	
Лери	A1			17. <i>БР.07.069.61</i>	Сборочный чертеж		
					<u>Детали</u>		
npaß. Nº	8/4		1	<i>17.5P.07.069.61.001</i>	Верхняя плита	1	
(I.	<i>δ/</i> 4		2	16.07.TM.511.05.002	Диафрагма	1	
	8/4		3	17.БР.07.069.61003	Шток	1	
	<i></i> ∂/4		4	<i>17.5P.07.069.61.004</i>	Корпус	1	
	8/4			<i>17.5P.07.069.61.005</i>	Нижняя плита	1	
	8/4		6	<i>17.5P.07.069.61.006</i>	Промежуточный корпус	1	
	8/4		7	<i>17.5P.07.069.61.007</i>	Винт	1	
מ	8/4		8	<i>17.5P.07.069.61.008</i>	Шаū б а	1	
ı dan	8/4		9	<i>17.5P.07.069.61.009</i>	Пружина	1	
Подп. и дата	0/4		10	<i>17.5P.07.069.61.010</i>	Втулка	1	
инв. № дубл.		816			Стандартные изделия		
o//	<i>Б/ч</i>		11		Болт М10х32 ГОСТ 15589-70	10	
Вэам. инв.	8/4		12		Болт М12450 ГОСТ15589-70	6	
B	<i>8</i> /4	İ	13		Винт М10450 ГОСТ 1477-93	4	
ישמ	8/4		14		Винт М124115 ГОСТ 1477-93	4	
Тодп. и дата	5/4		15		Гайка М10х10 ГОСТ 11871–88	4	
Подп	Изм	Nuc	m	№ докум. Подп. Дата	17. <i>5P.07.069.61</i>		
3. № подл.	Раз Пра	ραδ.	//	емичев Е.В.	пособление тгч	Лист 1 ТМХ	1 1232 3-1232
VIHI	9mi			Тагинов Н.Ю.	11 3,	II'IU	3-12)2

шимии Ф	Зона	Поз.	L	Обозначение	7	Наимено	вание	Кол.	Приме чание
<i>€</i>	1	16				Гайка М12х16 Го	OCT 11871-88	4	74,700
δ / δ	1	17				<i>Μαύδα 14 ΓΟ</i>		4	
8/	1	18				Шайба 18 ГОС		4	
δ/	1	19				Шайба 10 ГОС	T 11872-89	6	
8/4	1	20				Шайба 12 ГОС	T 11872-89	6	
8/	1	21				Штифт 10436 ГС	OCT 12207-79	1	
δ/	1	22				Штифт 10425 Г.С	OCT 12207-79	2	
100n. u dama 									
חלוחו									
		R - 8 R							
- VIHO.		31 # 331							
БЭШУ. ИНО. IV									
7. OHG		95 - 9 PS -						Sec	
<i></i>		32 SE						O ir	
וססוו. ע טעוווע									
THO. Nº NOON.	+					17.50.07	06061		Λu
G M3	M. /IL	icm N	I ^O докум.	Подп. Дата	Копирови	17.6P.07.		пмат	A4

приложение Б

17 Блок-шестерня кародки скаростей токарнаго станка Ргота SP 143-71 146. 146. 146. 146. 146. 146. 146. 146. 146. 146. 146. 146. 146. 146. 146. 146. 146. 146. 146. 146. 146. 146. 146. 146. 146. 146. 146. 146. 146. 146. 146. 146. 146. 146. 146. 146. 146. 146. 146. 146. 146. 146. 146. 146. 146. 146. 146. 146. 146. 146. 146. 146. 146. 146. 146. 146. 146. 146. 146. 146. 146. 146. 146. 146. 146. 146. 146. 146. 146. 146. 146. 146. 146. 146. 146. 146. 146. 146. 146. 146. 146. 146. 146. 146. 146. 146. 146. 146. 146. 146. 146. 146. 146. 146. 146. 146. 146. 146. 146. 146. 146. 146. 146. 146. 146. 146. 146. 146. 146. 146. 146. 146. 146. 146. 146. 146. 146. 146. 146. 146. 146. 146. 146. 146. 146. 146. 146. 146. 146. 146. 146. 146. 146. 146. 146. 146. 146. 146. 146. 146. 146. 146. 146. 146. 146. 146. 146. 146. 146. 146. 146. 146. 146. 146. 146. 146. 146. 146. 146. 146. 146. 146. 146. 146. 146. 146. 146. 146. 146. 146. 146. 146. 146. 146. 146. 146. 146. 146. 146. 146. 146. 146. 146. 146. 146. 146. 146. 146. 146. 146. 146. 146. 146. 146. 146. 146. 146. 146. 146. 146. 146. 146. 146. 146. 146. 146. 146. 146. 146. 146. 146. 146. 146. 146. 146. 146. 146. 146. 146. 146. 146. 146. 146. 146. 146. 146. 146. 146. 146. 146. 146. 146. 146. 146. 146. 146. 146. 146. 146. 146. 146. 146. 146. 146. 146. 146. 146. 146. 146. 146. 146. 146. 146. 146. 146. 146. 146. 146. 146. 146. 146. 146. 146. 146. 146. 146. 146. 146. 146. 146. 146. 146. 146. 146. 146. 146. 146. 146. 146. 146. 146. 1						<u> </u>			
CMOIN- 20X ГОСТ 4343-71 Блок-шестерня кародки скарасстей токарнага станка Ргата SPI Блок-шестерня кародки скарасстей токарнага станка Ргата SPI ГОСТ 4343-71 В СОСТ 4343-71 ПОТ В СОСТ 4343-71 В СОСТ 4343-71 В СОСТ 4343-71 В СОСТ 4443-71 В СОСТ 4443-71 </th <th>П</th> <th></th> <th></th> <th></th> <th></th> <th></th> <th>П</th> <th></th> <th></th>	П						П		
Сталь 20X ГОСТ 4343-71 Блак-шестерня кородки скоростей токарного станка Ргата 11 1 1 1 1 1 1 1 1 1 1 1 1 1 1 1 1 1	(емичев Левашкин	h	<i>II.</i> 9						
Сталь 20X ГОСТ 4343-71 КМУ Код загот Код загот Профиль и размеры КИ ГЛ КИ ГЛ 165 09 1 14 штомповка 54x80 1 11 1 11 1 11 1 11 1 11 1 11 1 11 1 11 1 11 1 11 1 11 1 11 1 11 1 11 1 11 1 11 1 11 1 11 1 11 1 11 1 11 1 11 1 11 1 11 1 11 1 11 1 11 1 11 1 11 1 11 1 11 1 11 1 11 1 11 1 11 1 11 1 11 1 11 1 11 1 11 1 11 1 11 1 11 1 11 1 11 1 11 1 11 1 11 1 11 1 11 1 11 1 11 1 11 1 11 1 11 1 11 1 11 1 11 1 11 1 11 1 11 1 11 1 11 1 11 1 11 1 11 1 11 1 11 1 11 1 11 1 11 1 11 1 11 1 11 1 11 1 11 1 11 1 11 1 11			9	лок-шестерня корс	. Оки скоростей токарно	гго станка Ргота Sr	la		
4 КВ МИ В Н Н ост КММ Код загат Код насименорожне операции Код насименорожне операции Код насименорожне операции КЛА насименорожне операции КЛА КММ Б Н П П П П П П П П П П П П П П П П П П		Стал	10CT 4343-71			14 DOCUMENT - 17 DOCUMENT			1
Ква науменования Обозначения	Kod	188	th H. pacx	Код загот. штамповка	Профиль и размер <u>і.</u> 54x80	KI	M3 162		
4.112. Зубофрезерная 18.225 3 H 1 1 1 1 1 1 1 1 1 1 1 1 1 1 1 1 1 1	94. H	M Unep.	Kod	mod/ M/		g)	Kum	/22	
38 1115 5632 18 225 3 H 1 1 1 1 1 1 1 1 1 1 1 1 1 1 1 1 1 1	-	050		NOT			1100011	2	
4112 Зубозакругляющая 38 1115 5E580 18 225 3 H 2 1 1 4112 Сверлильная 4112 Резьбонарезная 38 1115 2M112 38 1115 2M112 4112 Шлифавальная 18 225 4 H 2 1 1 4112 Шлифавальная 18 225 4 H 2 1 1 4112 Шлифавальная 18 225 4 H 2 1 1	_	_	38 1115 5532	18 225	1 H		1	7/	22
4112 Эубазакругляющая NOT 18 225 3 H 2 1 1 1 1 1 1 1 1 1 1 1 1 1 1 1 1 1 1	-			-	5	5			
38 11/5 5E580 4/12 Сверлильная 38 11/5 2M12 18 225 4 H 2 1 1 18 225 4 H 2 1 1 18 225 4 H 2 1 1	-	055	4112 Зубазакругляющая	NOT	_	-			
4112 Сверлильная 38 1115 2N112 4112 Резыданарезная 4112 Шлифавальная 4112 Шлифавальная 38 1115 3N115	-		38 1115 5E580	18 225	3 H 2	<u> </u>	F.(1)	22.8	4.68
4112 Сверлильная 38 1115 2M112 4112 Резьбанарезная 38 1115 2M112 4112 Шлифовальная 4112 Шлифовальная 38 1115 34151 4112 Шлифовальная			-2	-	-	-	TK	-	
38 1115 2M112 4112 Резъбонарезная 38 1115 2M112 4112 Шлифовальная 4112 Шлифовальная 38 1115 34151	-(070	4112 Сверлильная	NOT		- -	D.	<u> </u>	
4112 Резьбонарезная 38 1115 2М112 4112 Шлифовальная 4112 Шлифовальная 38 1115 34151	_	_	38 1115 2M112	18 225	3 H 2	-		24.2	3.94
4112 Резьбанареяная мОТ 18 225 4 H 2 1 1 1 1 1 1 1 1 1 1 1 1 1 1 1 1 1 1	- 8	12% S		<u>_</u> 0 0				2	
38 1115 2M112 4112 Шлифовальная 38 1115 34151	_	075	4112 Резьбонарезная	NOT	-	-		_	
4112 Шпифовальная 38 1115 34151	_	2	38 1115 2M112	18 225	2 H 7		-	20.6	2.88
4112 Шлифовальная NOT 38 1115 34 151	-	_		- 8		- 8	T 8	= \$	
1 1 2 H 7 3CC 81	-	085	4112 Шлифавальная	NOT		-	==	<u>-</u> 10	
	= (<u>2</u> 1	38 1115 34151	18 225	Z H 7	1 1	1 7	50.5	2.88

					1 01111 0.1110-02	+ 001119
Тибл. Ззам. Іодл.			_			
Разрад. Пров.	Семичев Леваикин	611	5 5 5 5 5 5 5 5			
Н, конто.		7	<i>Блок-шестерня коро</i> д	Блок-шестерня кородки скоростей токарного станка Proma SPI	ика Ргота SPI	
MON		Сталь 20X ГОСТ 4343-71				
70 W	Kod 148 166	O,9 1 H. Dacx KNM	Код загот. штамповка	Профиль и размеры 54x80	KII M3 1 (62	
A Llex	94. PM Une Kad	р. Код. наименобание операции наименобание одопидобания	φοσ// W)	Одозначение КОЛІ	. докимента ЕН ОП Кит	(mm)
A 03		4112 Зубошлифовальная	TOM			
<i>b</i> 04		38 1115 55833	18 225	3 H 1 1	1 1	14 22
50						_
90	560	4.112 Зубошлифавальная	TON	-	_	_
07	-0 0	38 1115 55833	18 225	3 H 2 1	1 1	22.8 4.68
80	27 F2	_,	E .		p p	Ξ)
60	_	_				
Q	_	_	-	-	-	_
11						<u>u</u> n s
22	_	_				_
13	-			-		
7/	-				T 6	<u>-</u> §
12			20		<u>1</u> 20	27
99			9 E			<u> </u>
MM						